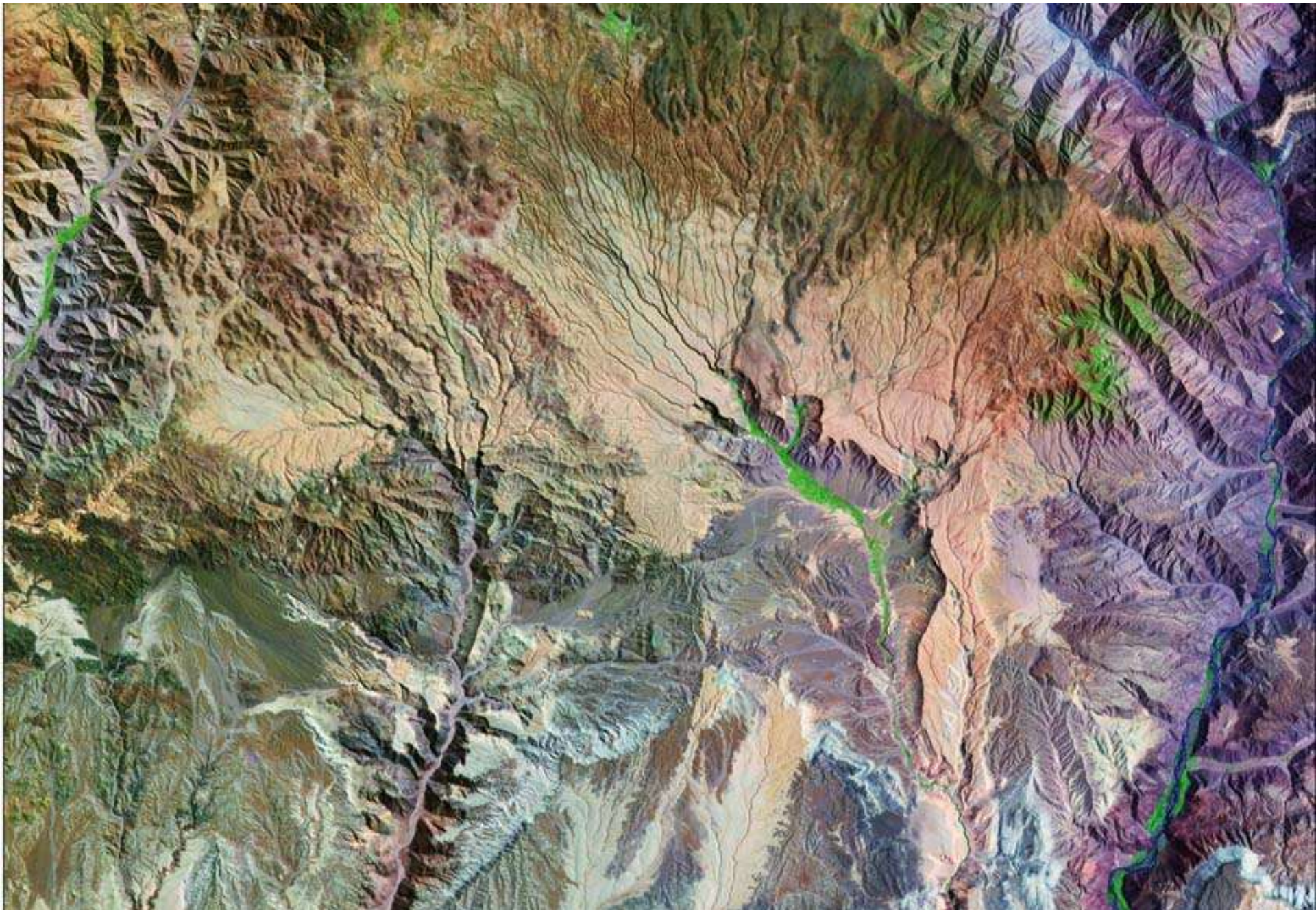


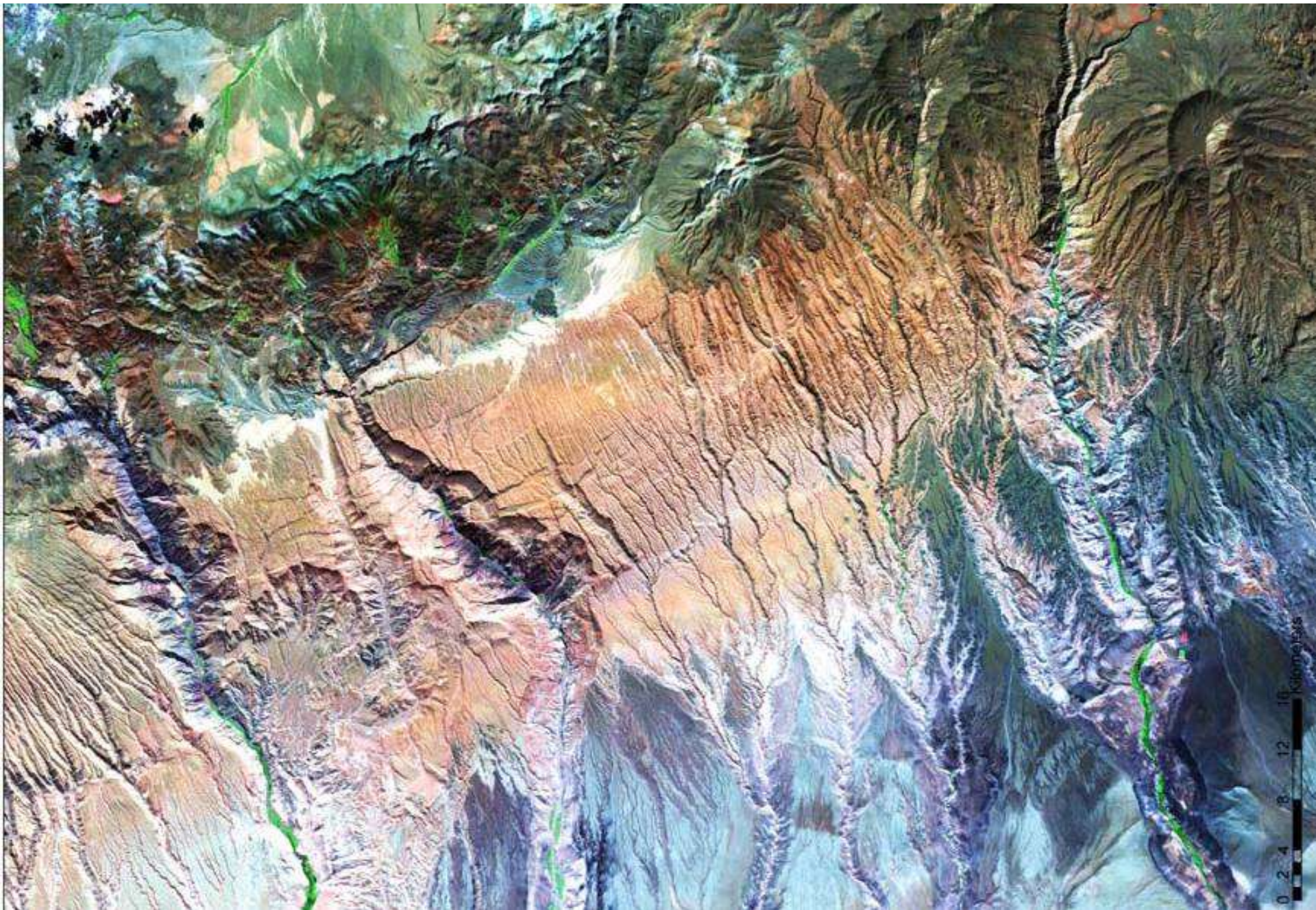
Вулканоструктуры. Вулканические аппараты, лавовые потоки. Анды.



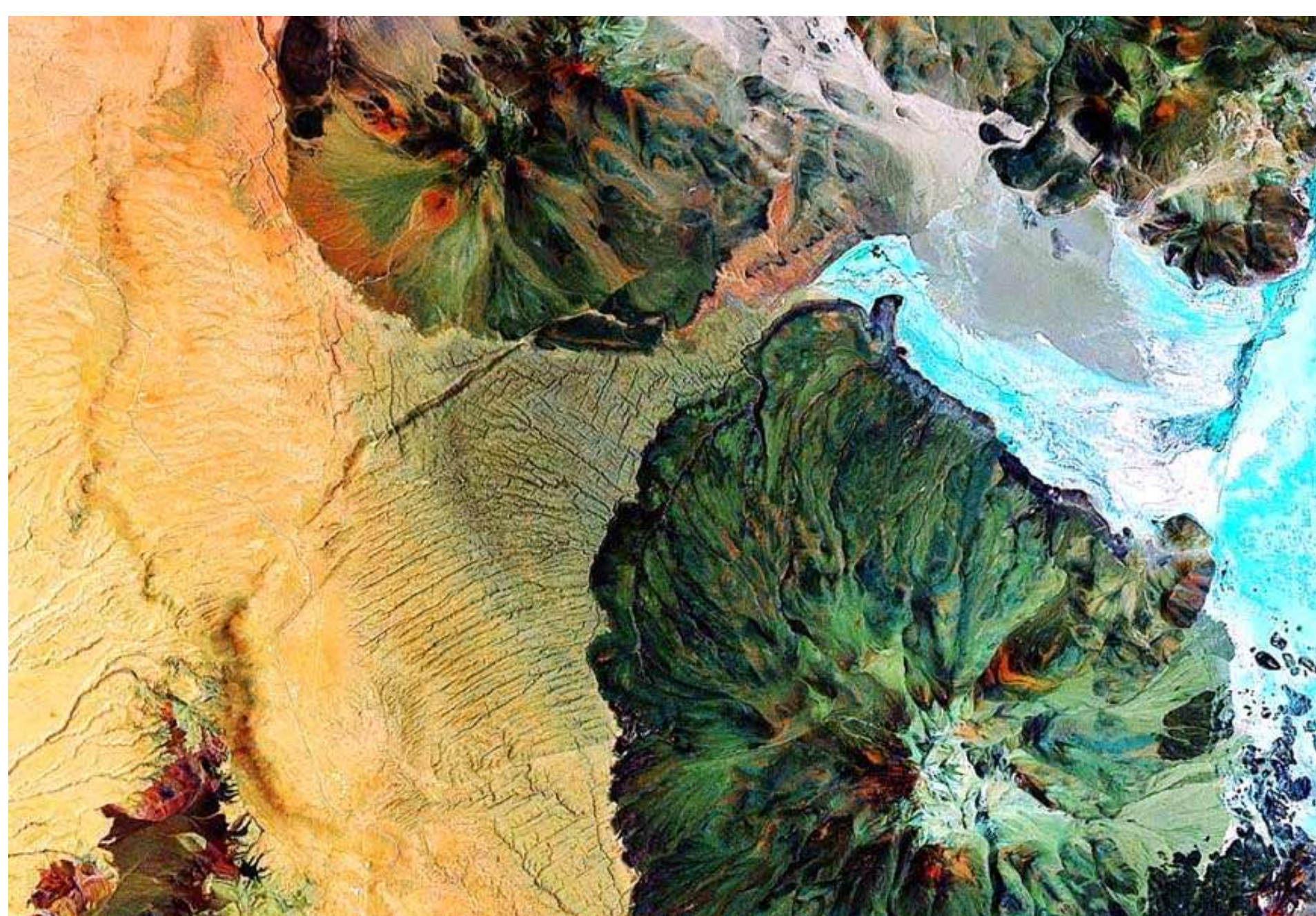
Вулканоструктуры. Вулканические аппараты, лавовые потоки. Анды.



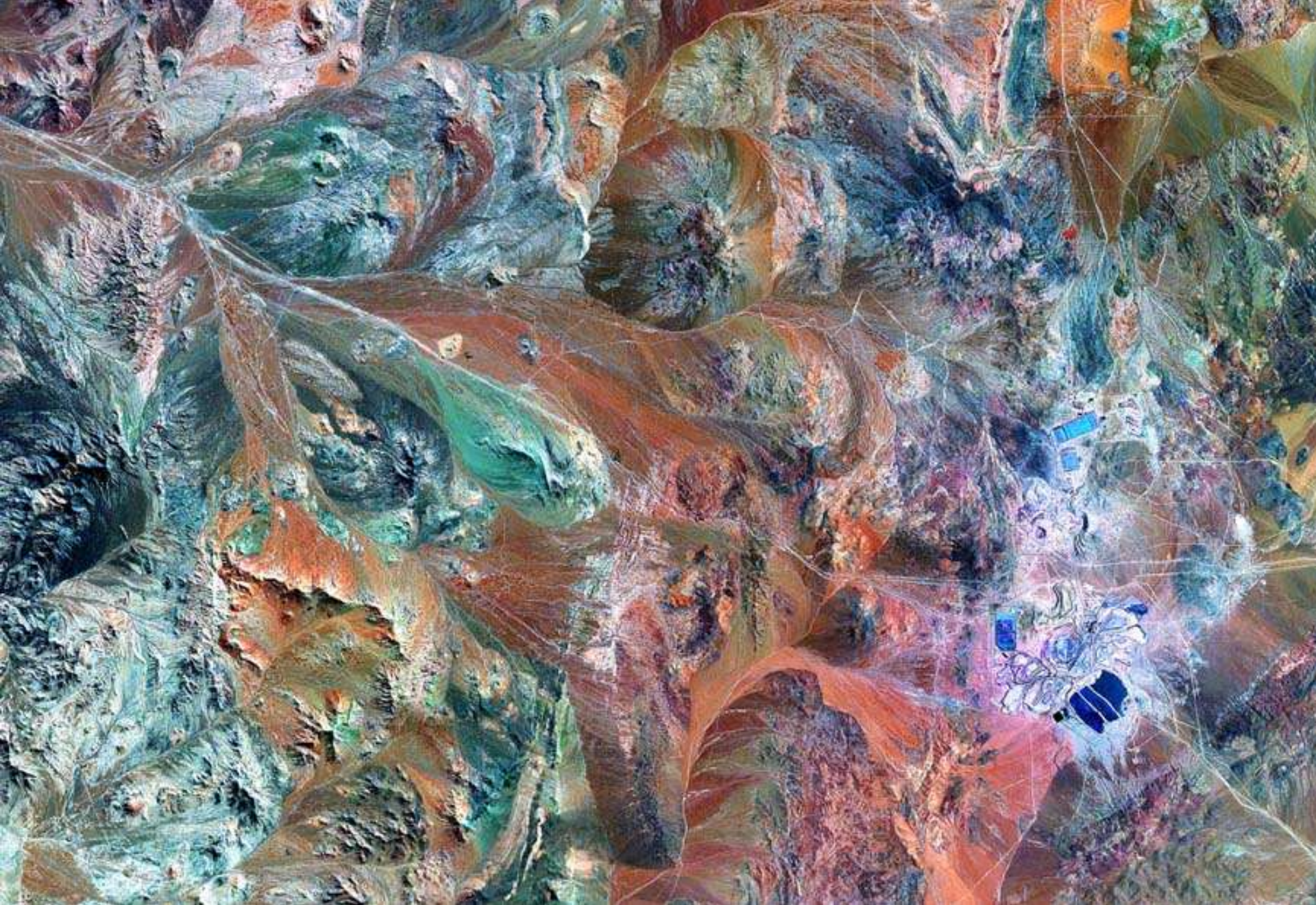
Вулканоструктуры. Вулканические аппараты, лавовые потоки. Анды. Оз. Титикака



Вулканоструктуры. Вулканические аппараты, лавовые потоки. Анды.



Вулканические аппараты, лавовые потоки. Хорошо видны контракционные трещины в лавах. Яркие выцветы на склонах вулканов – «вторичные кварциты». Анды.



Месторождение золота типа High sulfidation во «вторичных кварцитах» жерловой фации. Анды.



Палеовулкан. Сахара. Ливия

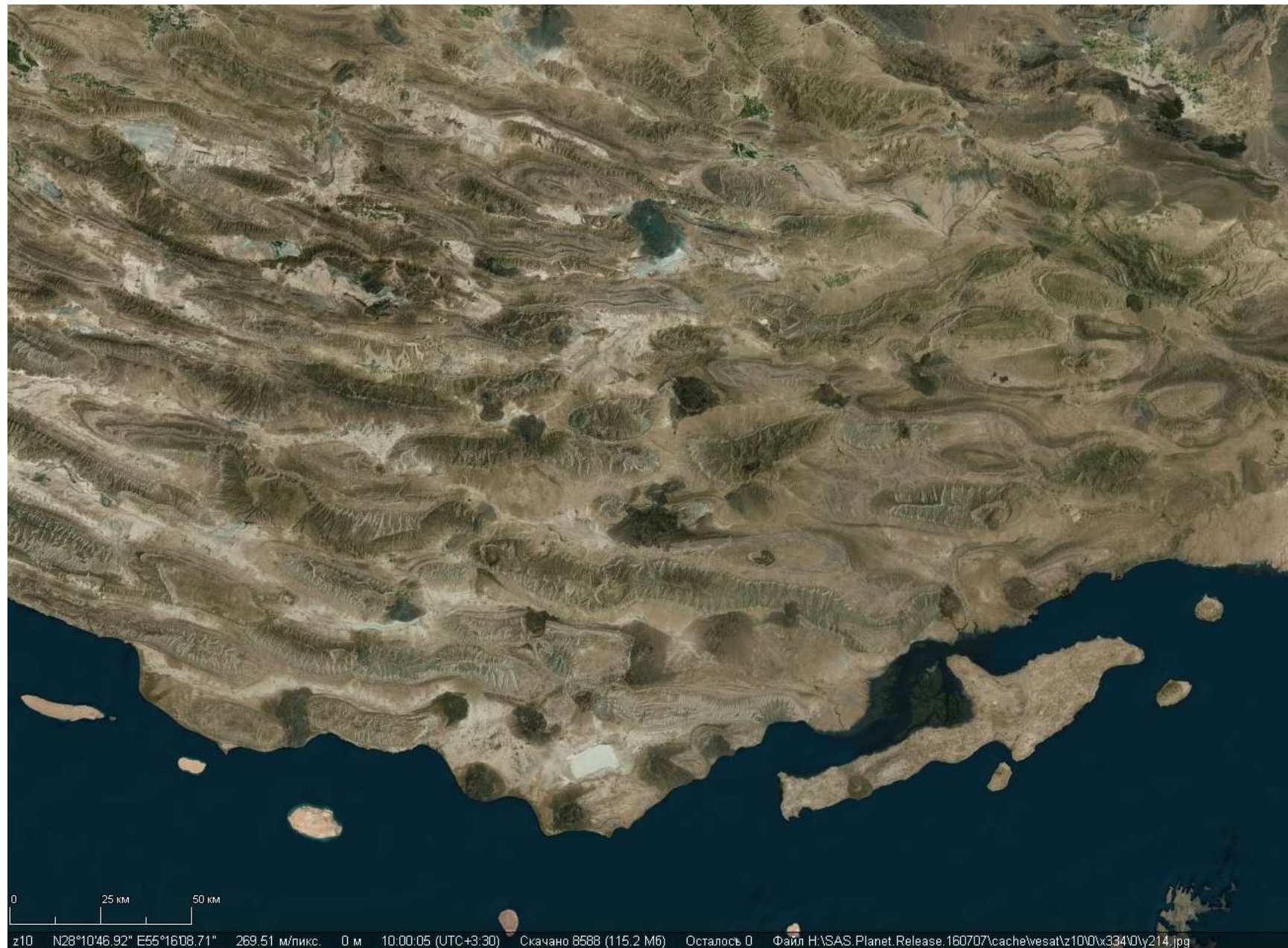


Пространственная ассоциация вулканических полей(восточная часть слайда) с карбонатно-соляными образованиями (западная часть слайда). Иран.



Зальцбург

Район г. Зальцбург. Австрия. Переходная область к Альпийской горной системе. Карбонатные породы и соли. Широкое развитие соляных диапиров. Хорошо видны зоны разрывных нарушений разных направлений и кольцевые структуры.



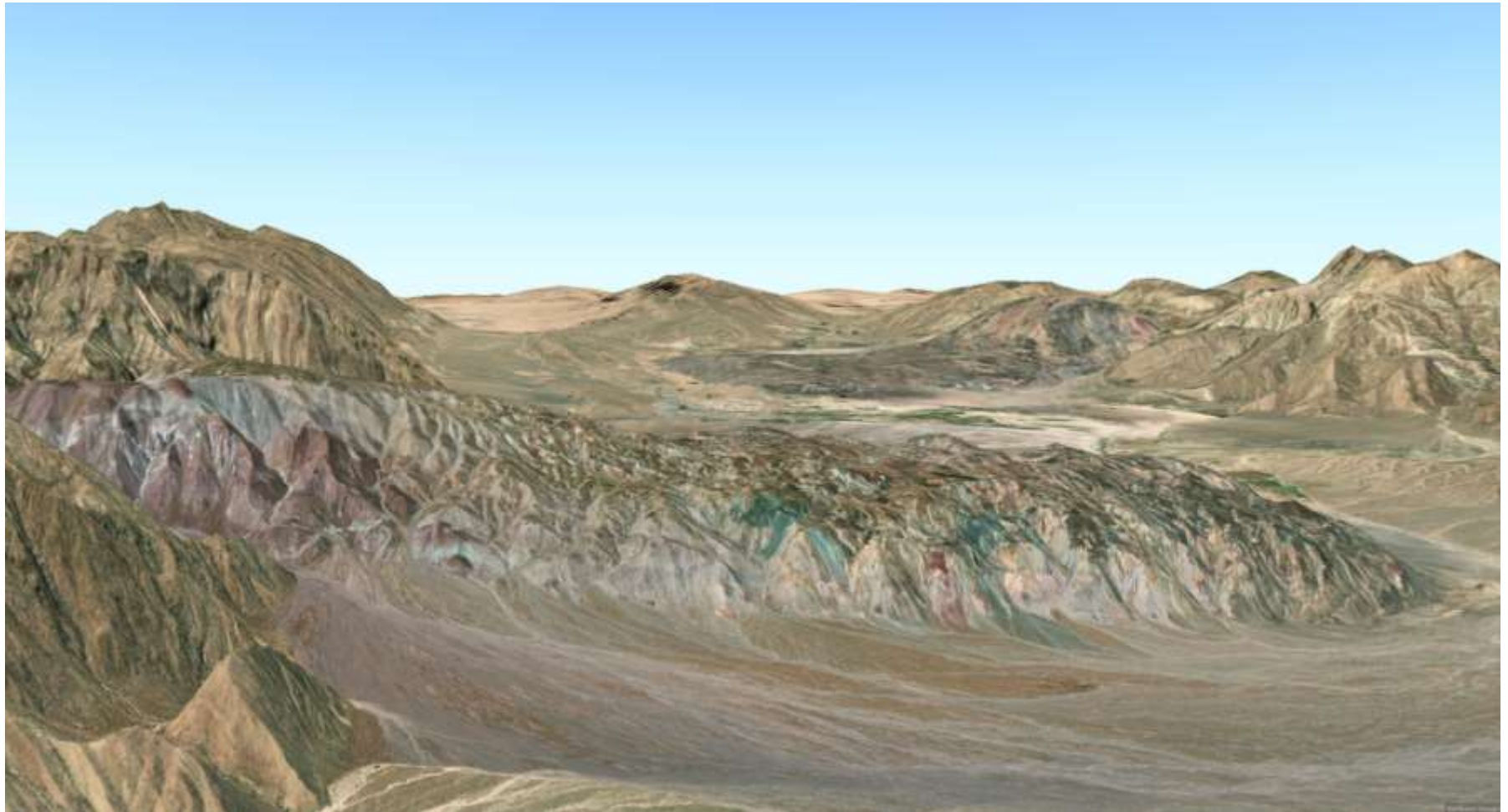
Соляные диапиры (темные пятна) в области смены направления осей складок с северо-западного на субшироное-северо-восточное. Юг Ирана, Персидский залив.



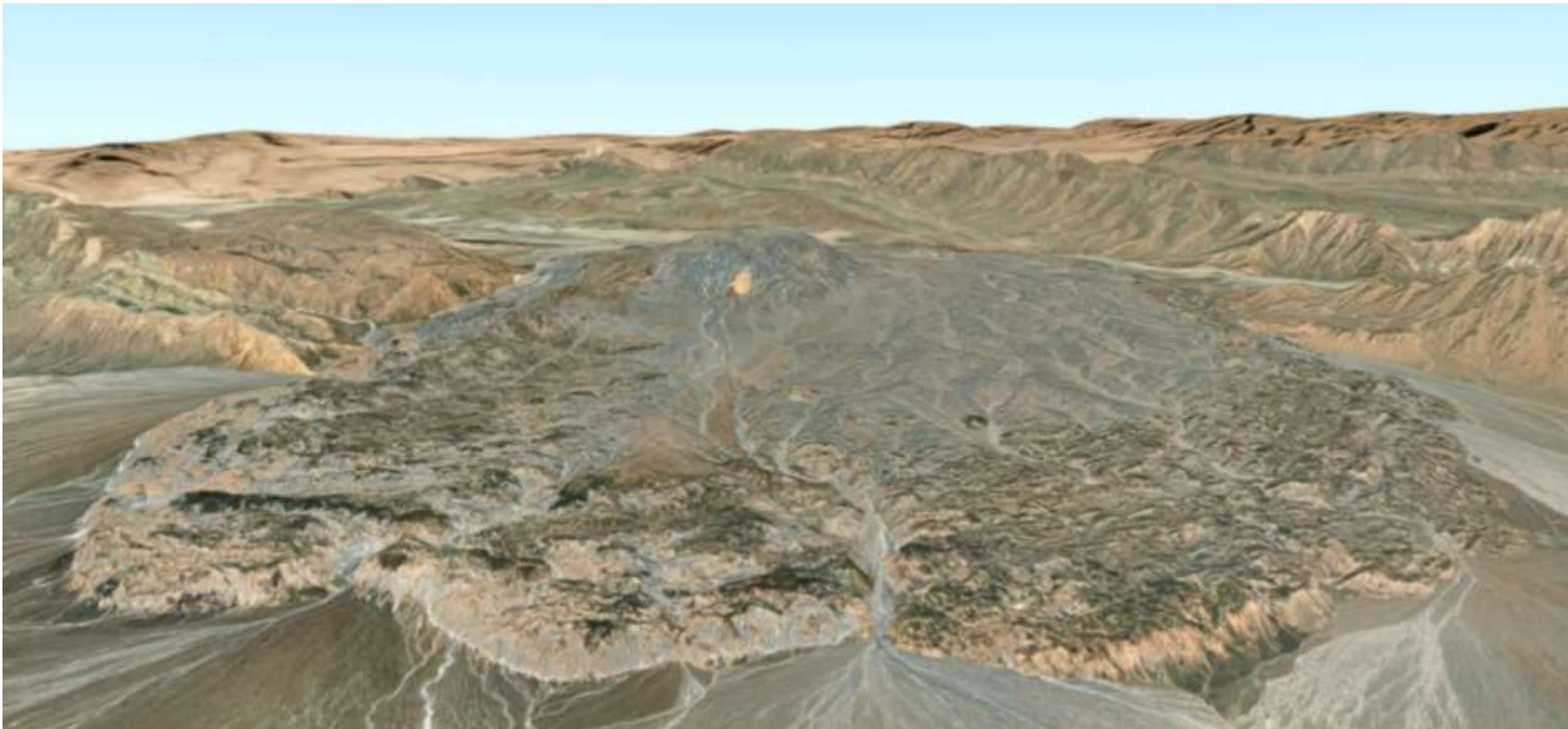
Соляные диапиры. Потоки соли от исходного штока (обозначены стрелками). Штоки располагаются в осевых частях складок (участки максимального растяжения). Иран.



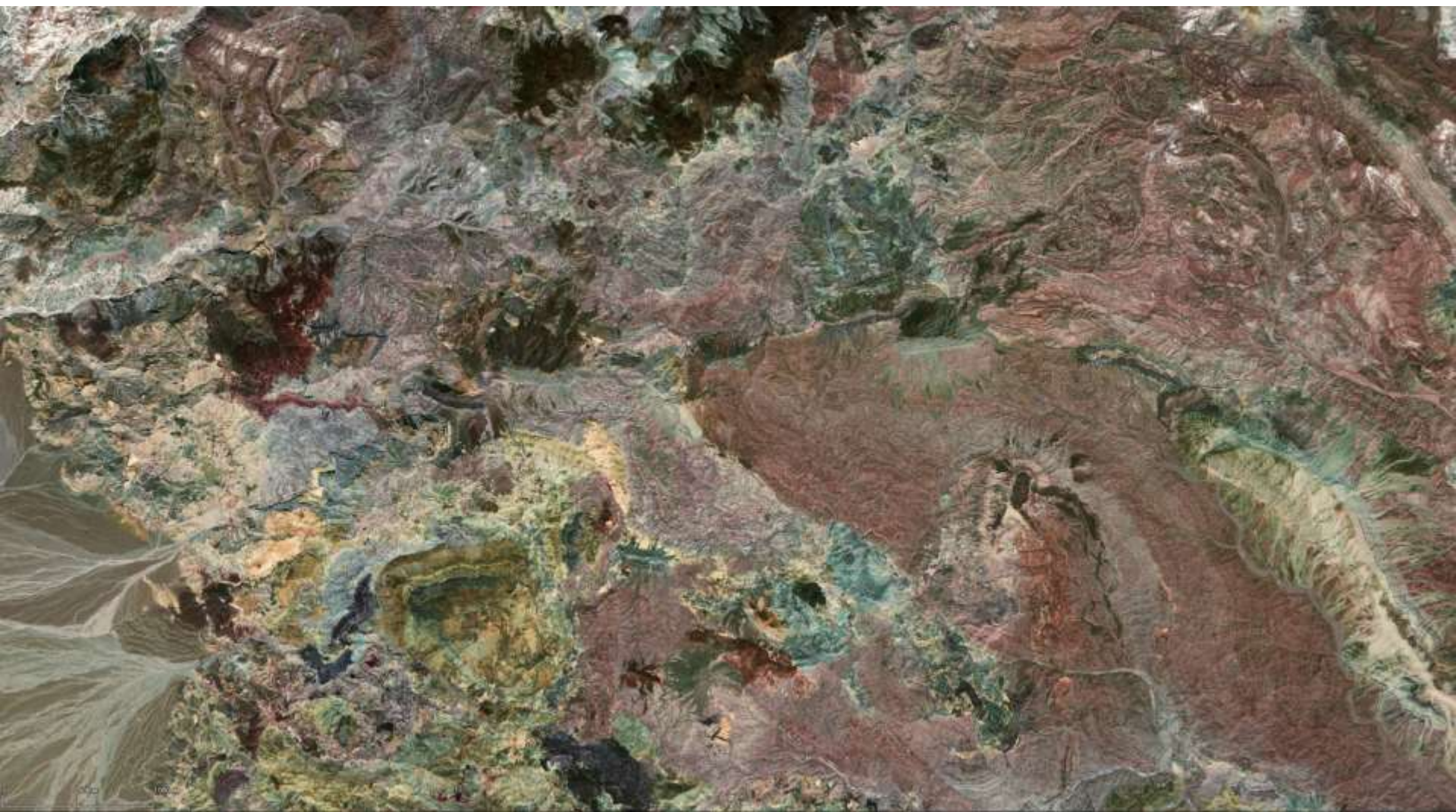
Соляные диапиры. Потоки соли от исходного штока. Штоки располагаются в осевых частях складок (участки максимального растяжения). Иран.



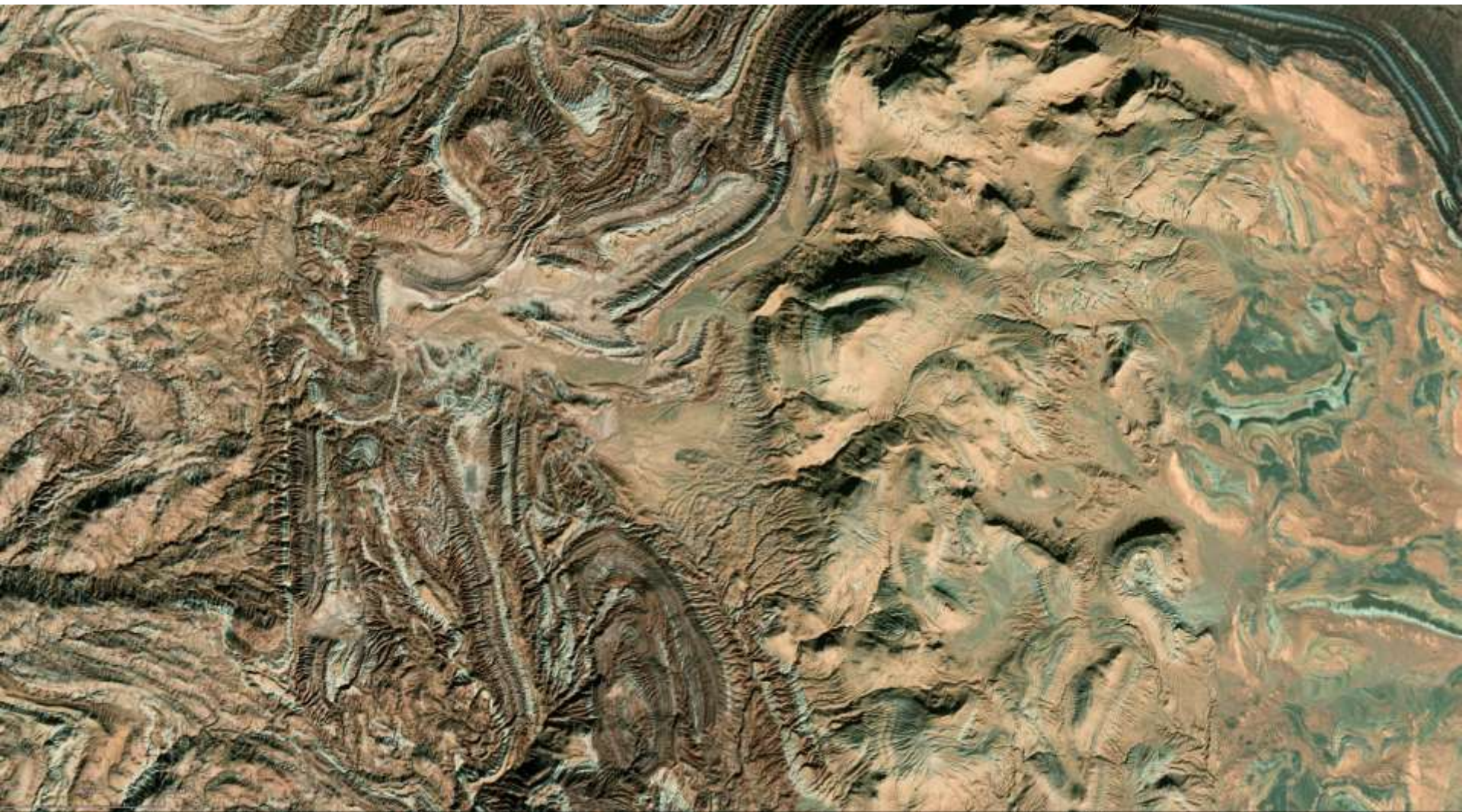
Соляные диапиры. Потоки соли от исходного штока. Штоки располагаются в осевых частях складок (участки максимального растяжения). Иран.



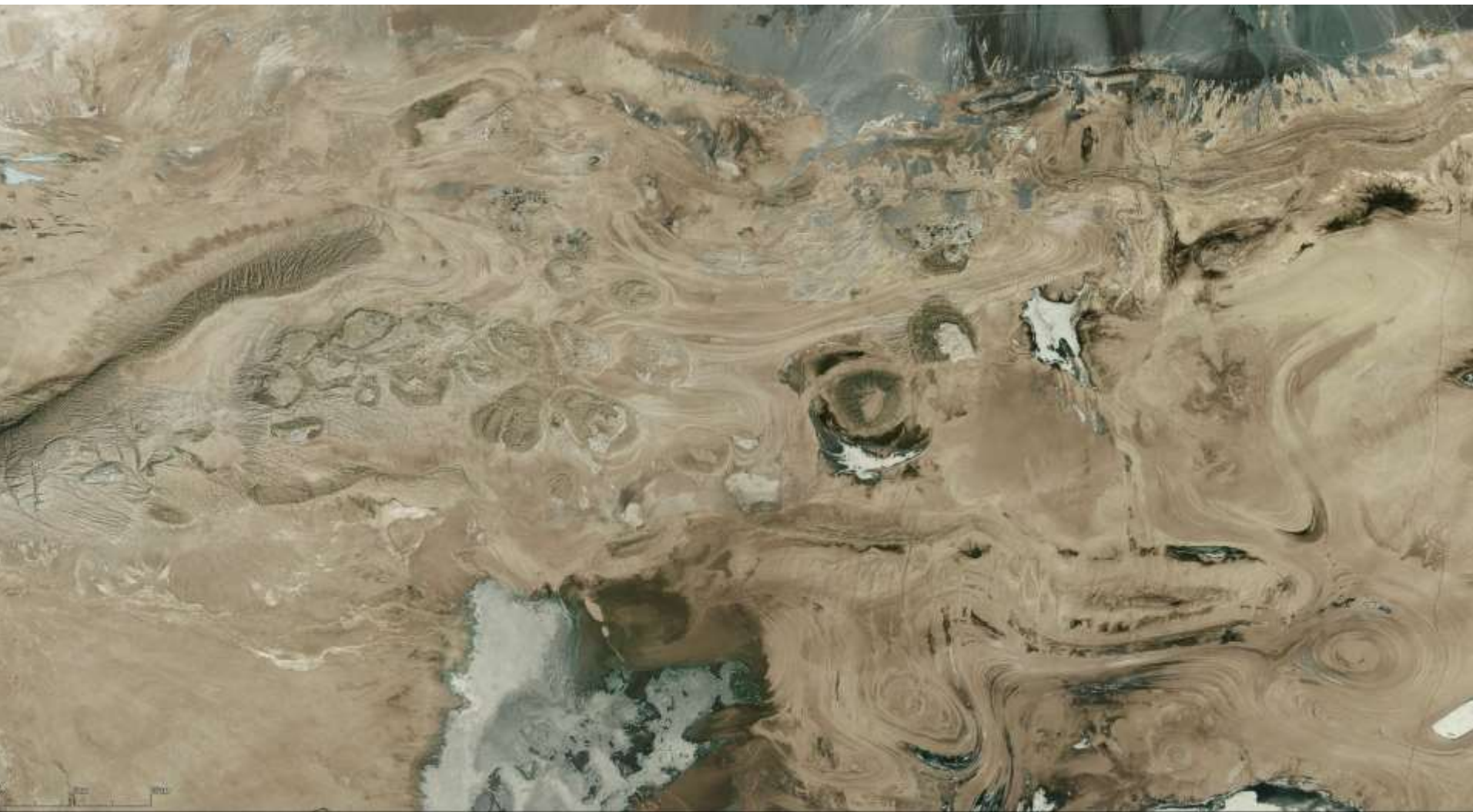
Соляные диапиры. Потоки соли от исходного штока. Штоки располагаются в осевых частях складок (участки максимального растяжения). Иран.



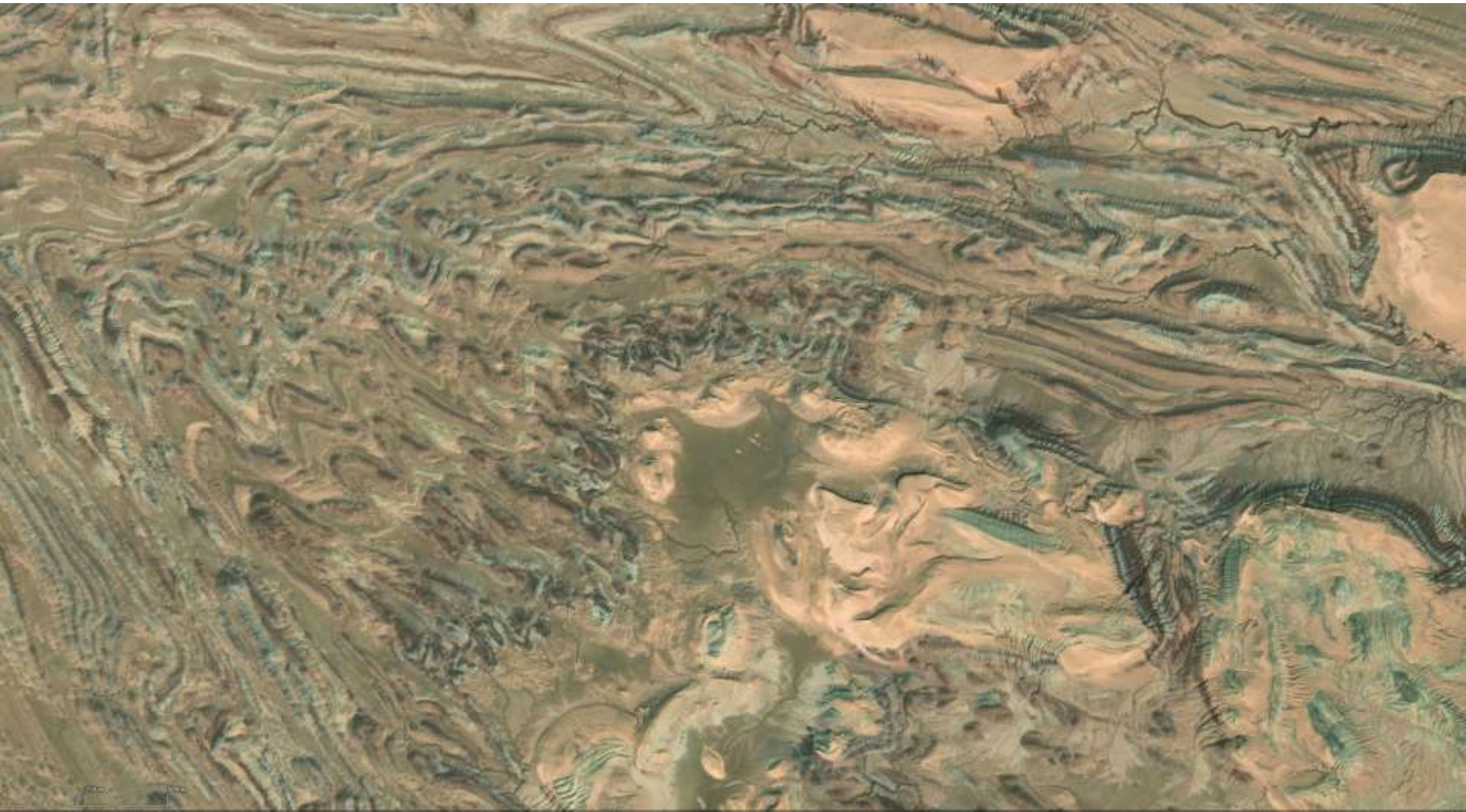
Внутреннее строение соляного штока южной соляной пустыни. Брекчия с фрагментами пластических деформаций. Иран.



Внутреннее строение соляного штока северной соляной пустыни. Складчатые деформации, «дисгармоничные складки». Иран.



Соляные диапиры северной (Великой) соляной пустыни. Расположены вдоль зоны разрывных нарушений субширотного простирания. Иран.



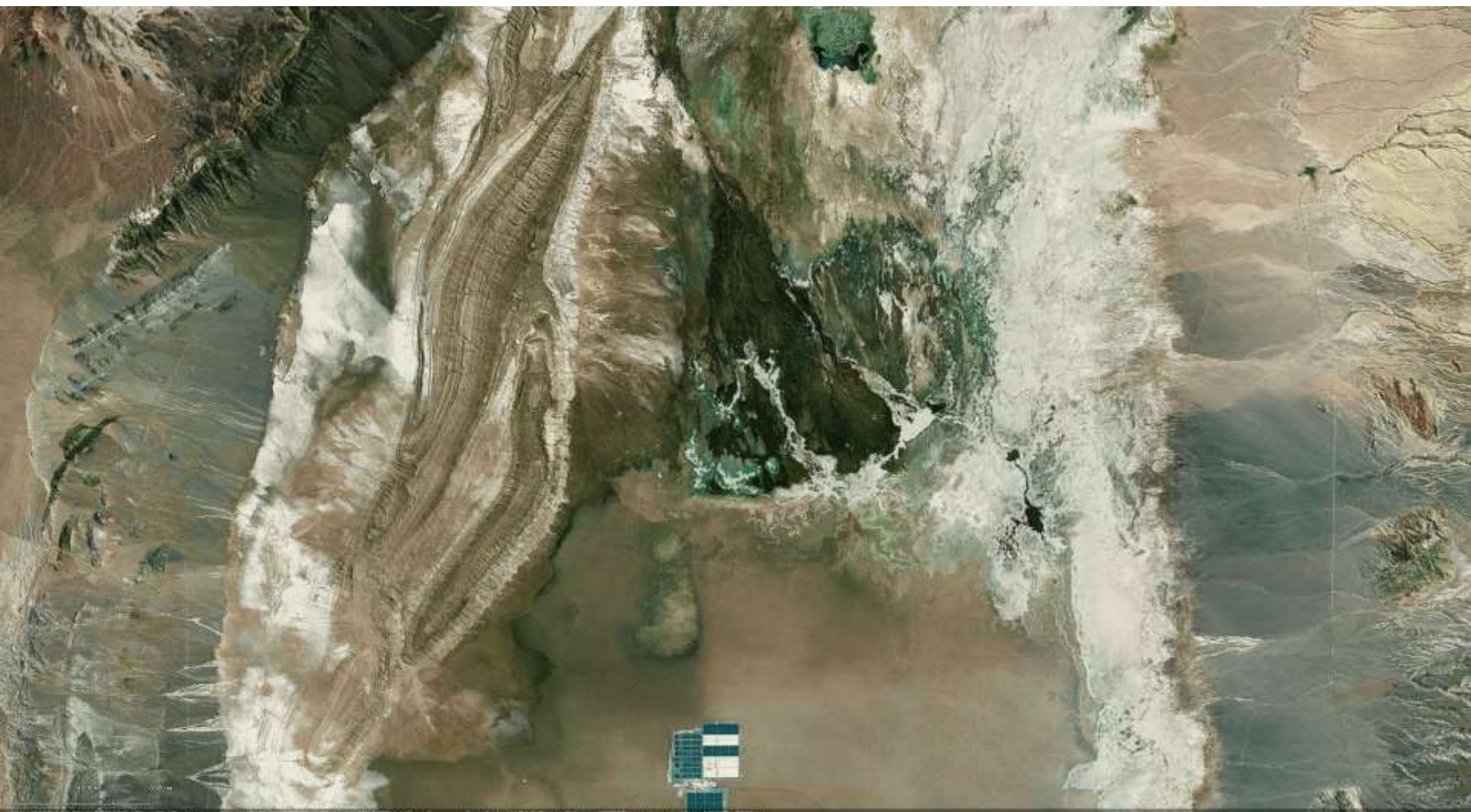
Внутреннее строение соляного штока северной соляной пустыни. Складчатые деформации, «дисгармоничные складки». Иран.



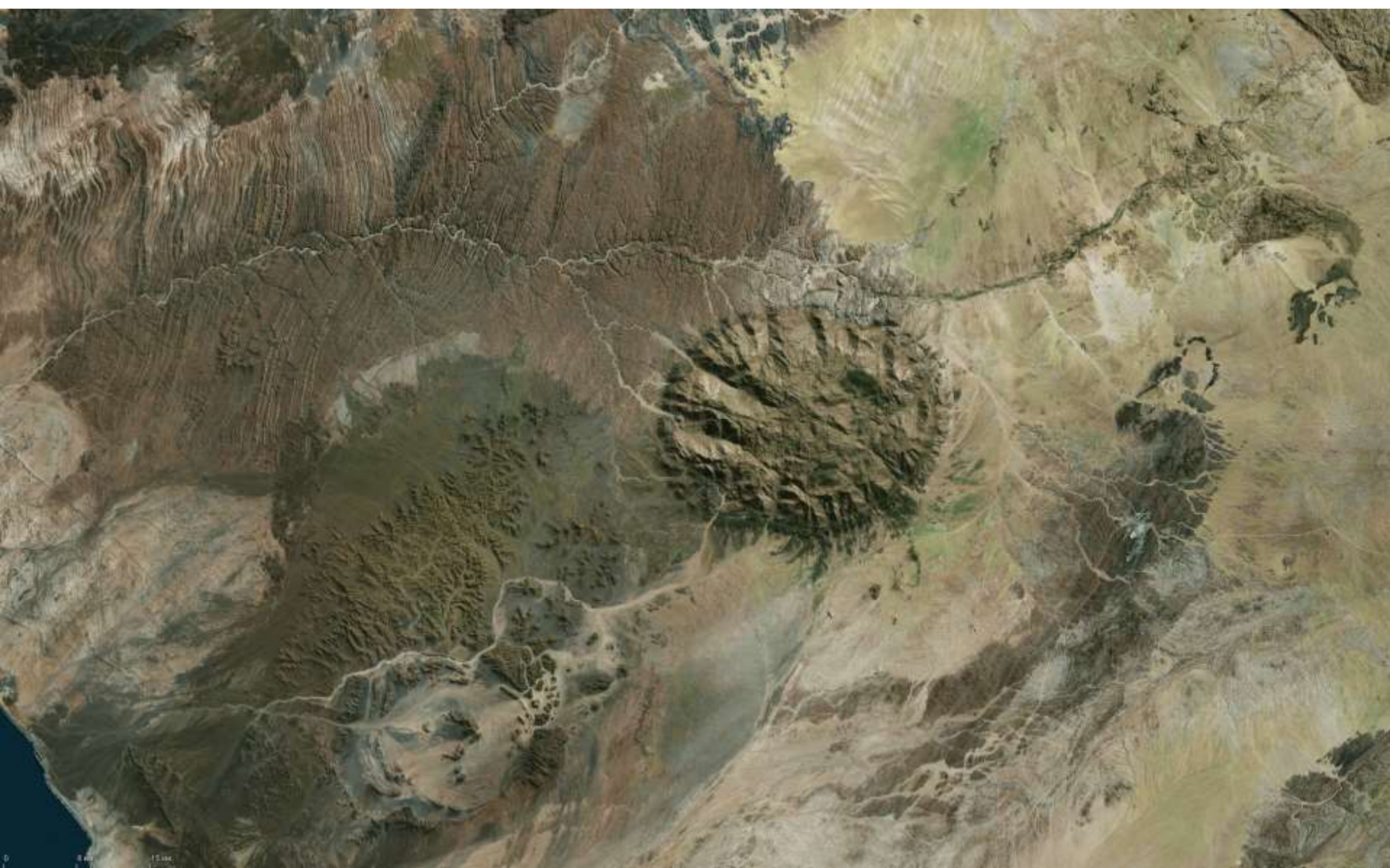
Соляное плато – вулканы – складки. Анды, центральная часть. Южная Америка.



Зона растяжения субмеридионального направления (центральная часть снимка) в средней части андийского вулканогенного пояса с соляными плато и складчатостью в карбонатно-соляных породах. Анды, центральная часть. Южная Америка.



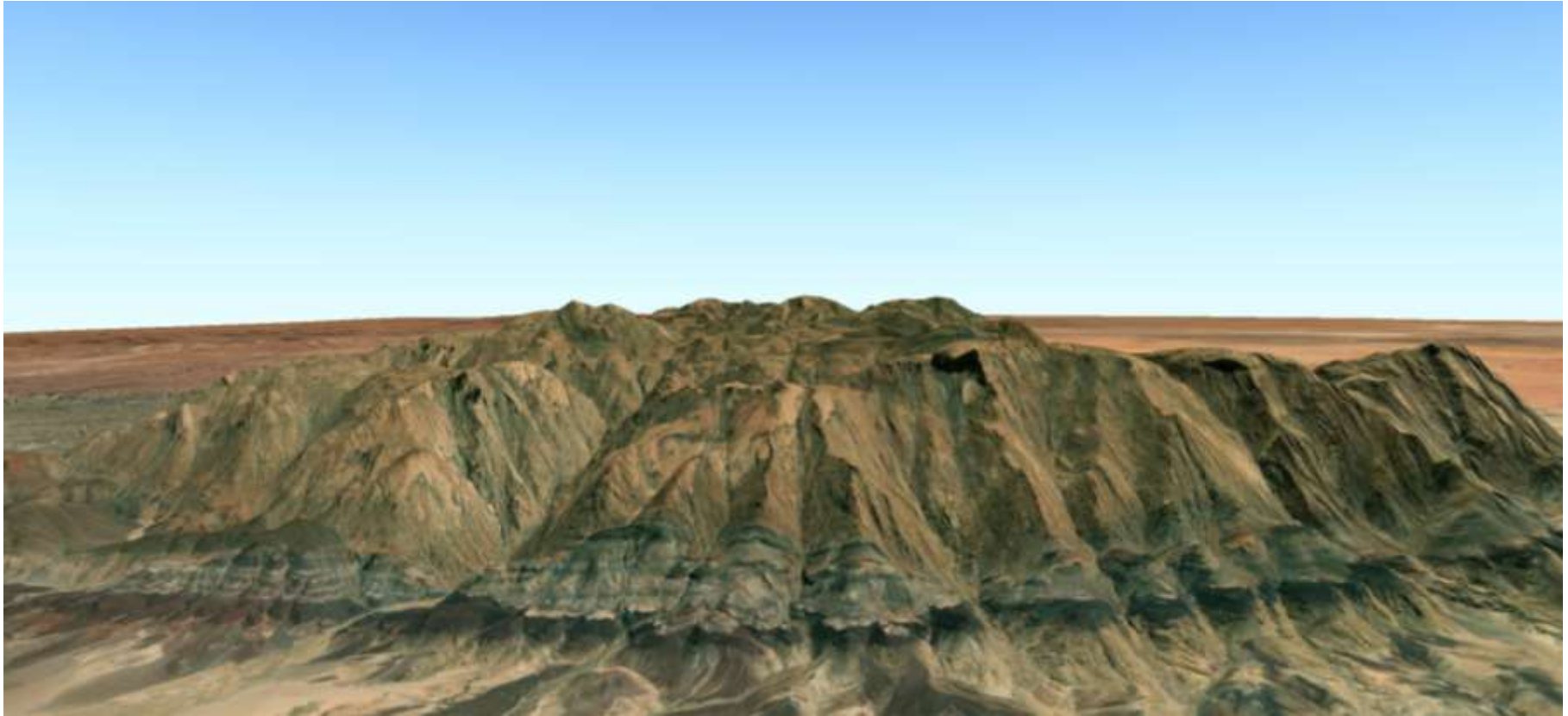
Зона растяжения субмеридионального направления (центральная часть снимка) в средней части андийского вулканогенного пояса с соляными плато и складчатостью в карбонатно-соляных породах. Анды, центральная часть. Южная Америка.



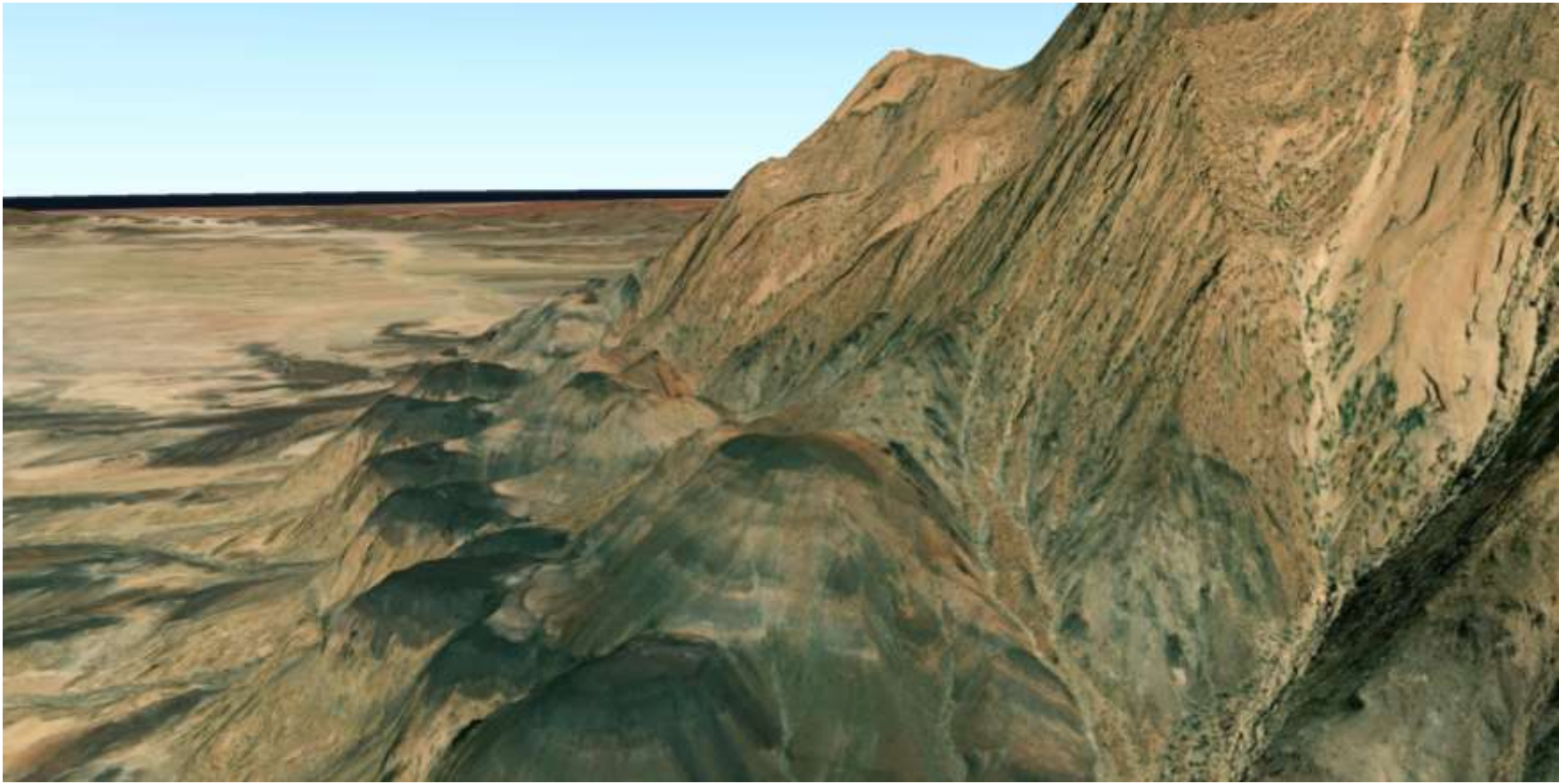
Трубка взрыва Брамсберг. Карбонатиты. Диаметр ок. 28 км. Намибия.



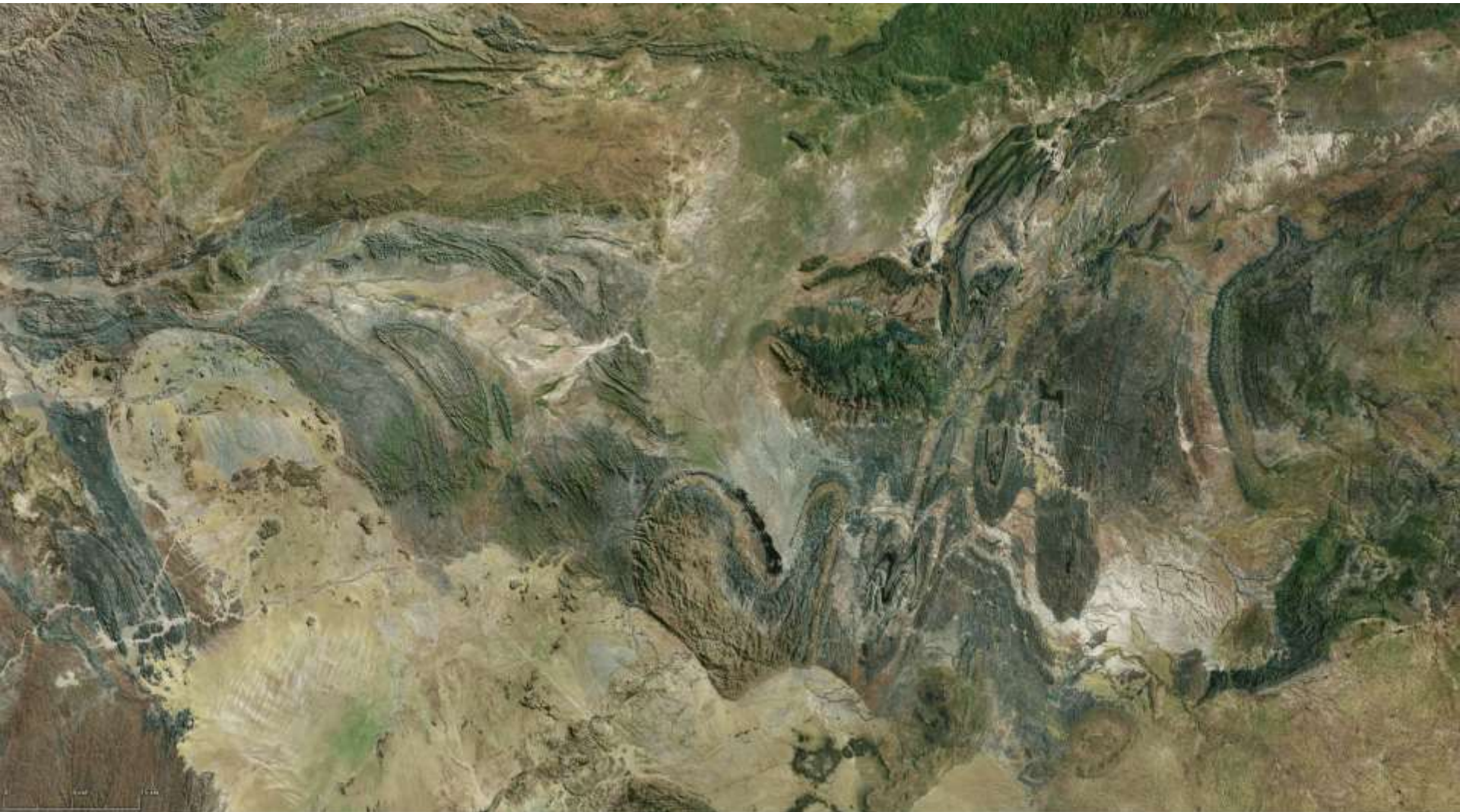
Контакт трубки взрыва Брамсберг с вмещающими слоистыми породами. Слоистость непосредственно вблизи контакта не деформирована и залегает горизонтально. Намибия.



Контакт трубки взрыва Брамсберг с вмещающими слоистыми породами. Слоистость непосредственно вблизи контакта не деформирована и залегает горизонтально. Намибия.



Контакт трубки взрыва Брамсберг с вмещающими слоистыми породами. Слоистость непосредственно вблизи контакта не деформирована и залегает горизонтально. Намибия.



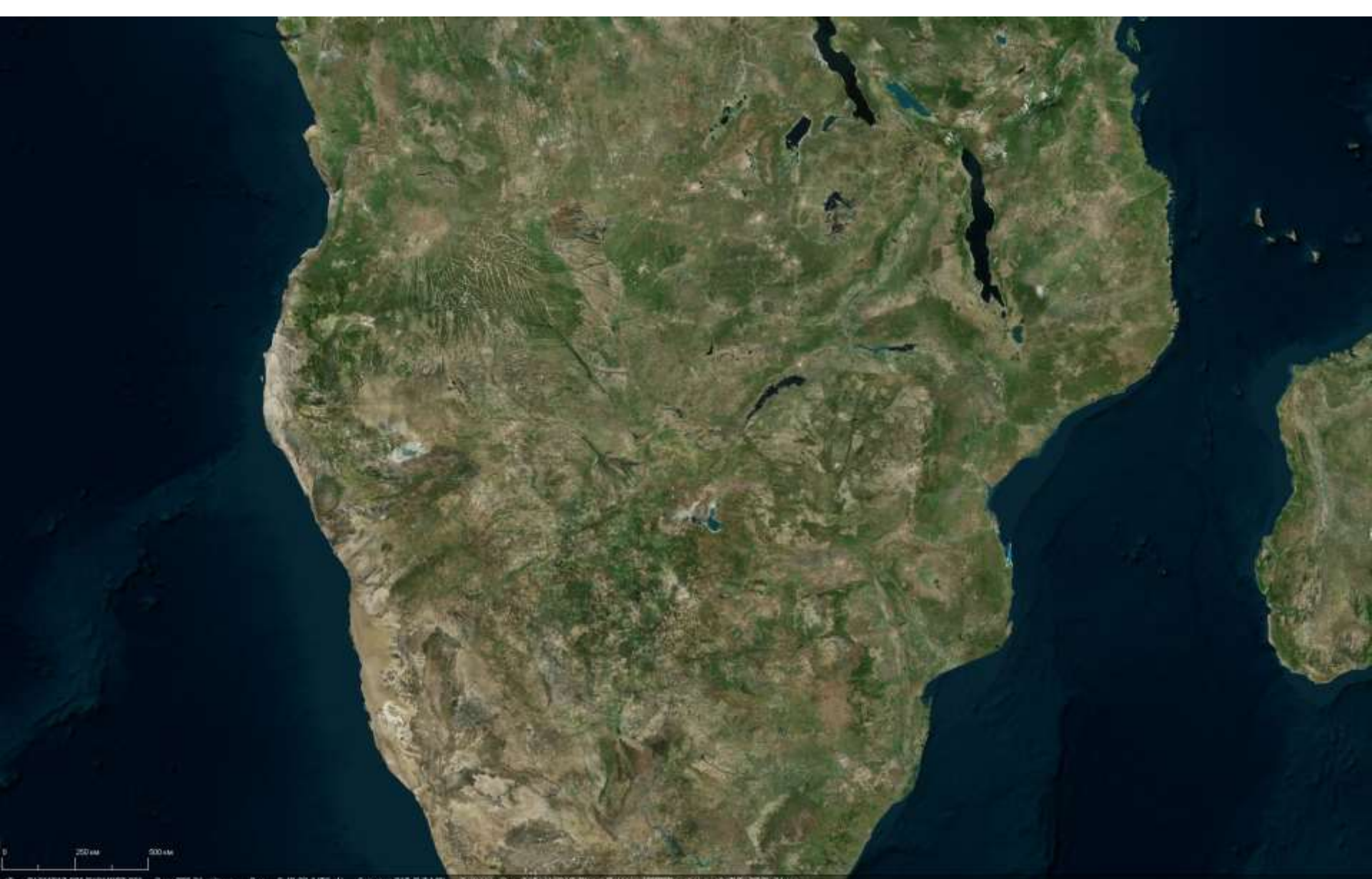
Складчатость, сформированная в условиях растяжения. Оси складок на поверхности образуют веер. Намибия.



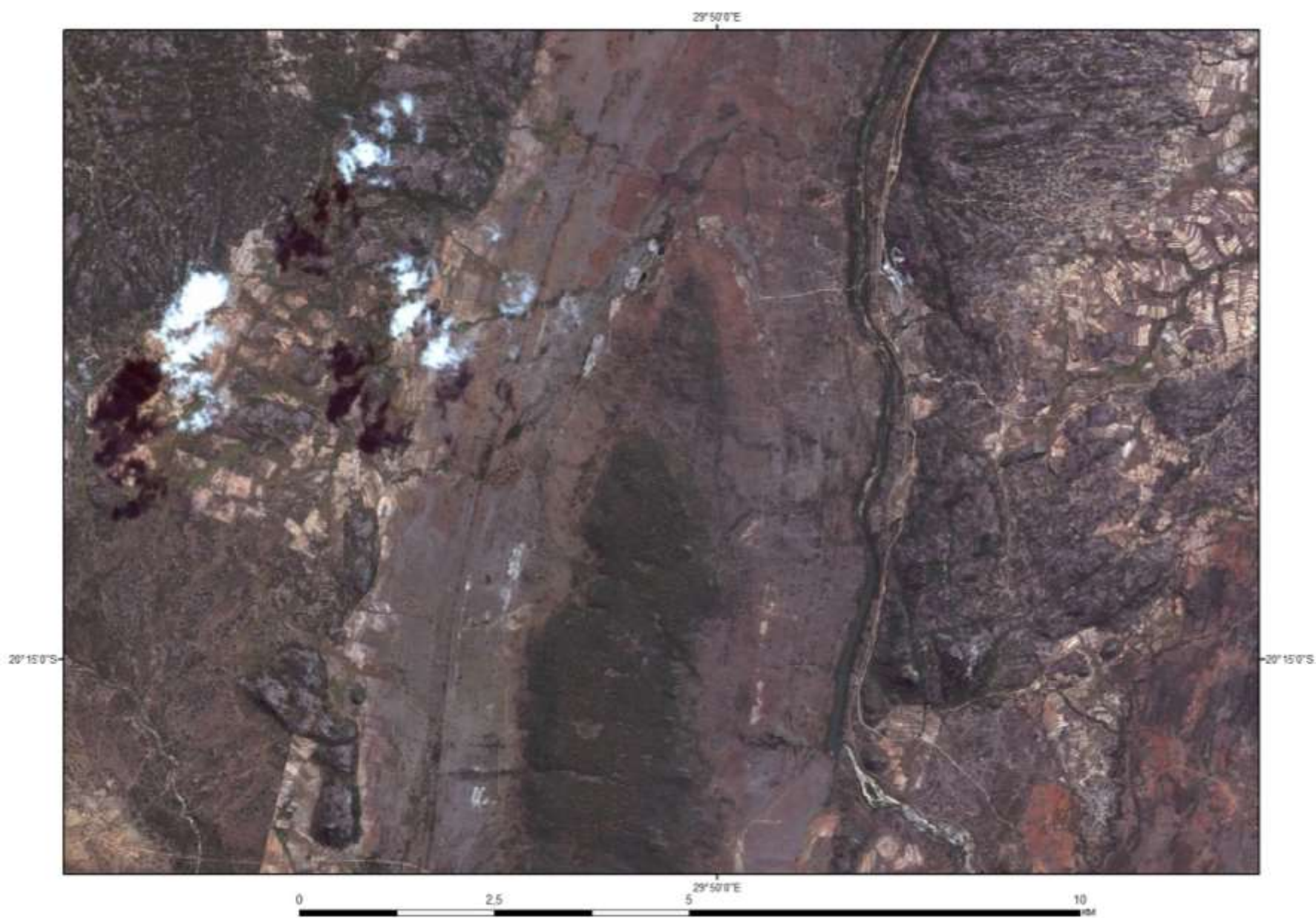
Концентрическая кольцевая структура. Уникальное магматическое образование щелочного, карбонатитового состава "Pilaesberg". Диаметр ок. 23 км. Южная Африка



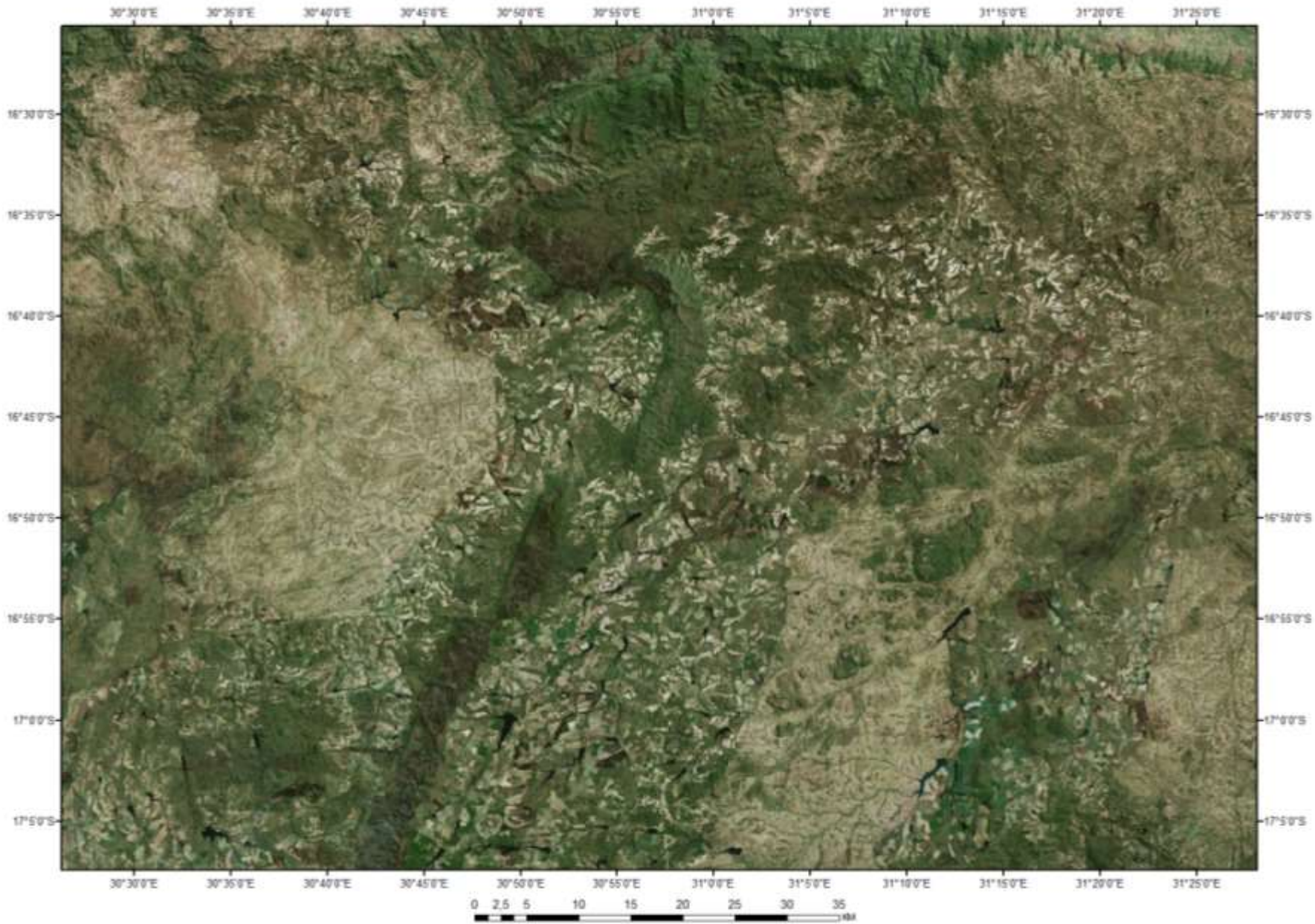
Бушвельдский массив и карбонатитовая трубка Пиланесберг (диаметр ок.23 км). ЮАР.



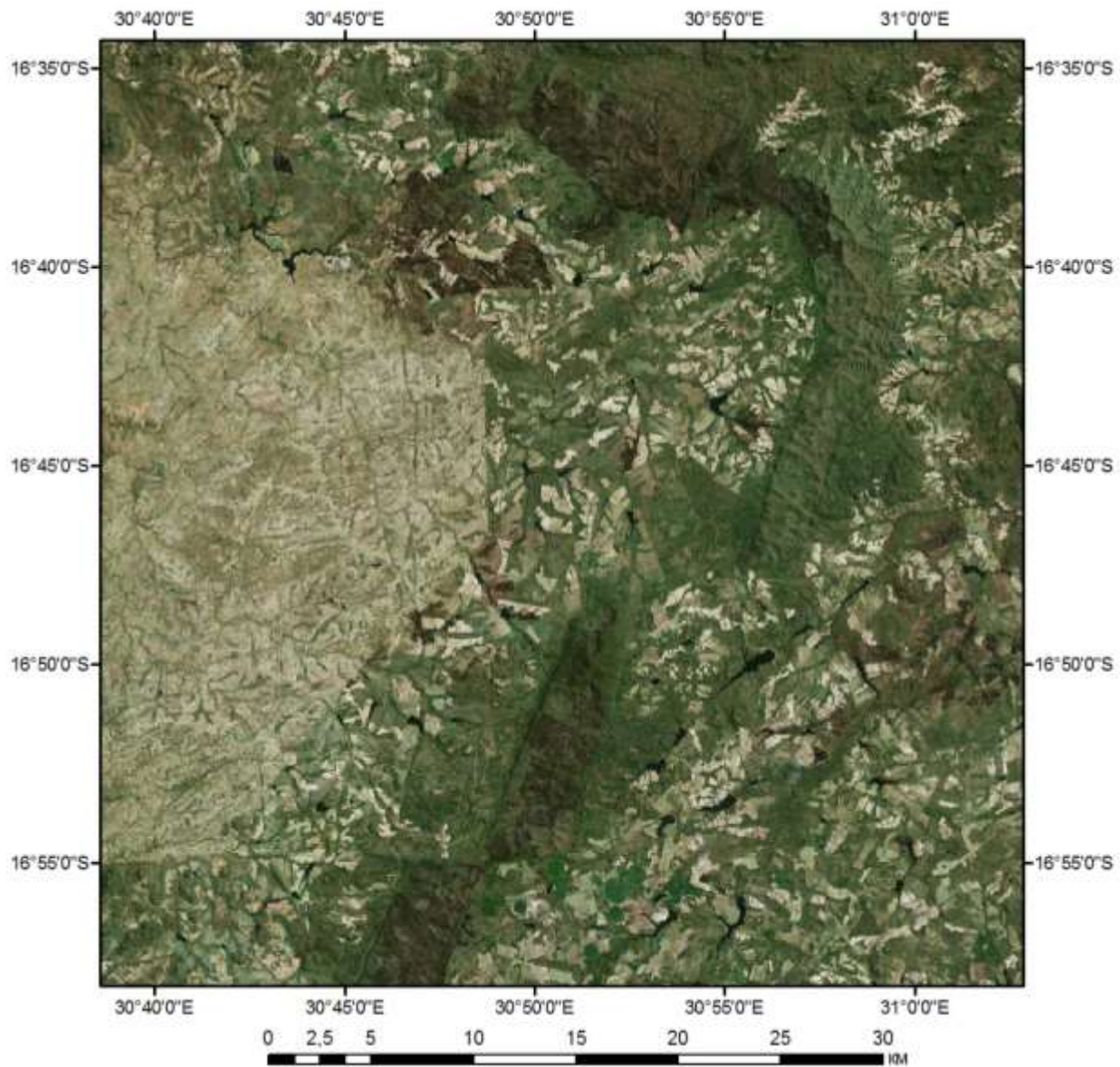
Гигантская очаговая структура (диаметр более 660 км), через центральную часть которой проходит Великая дайка. Африка.



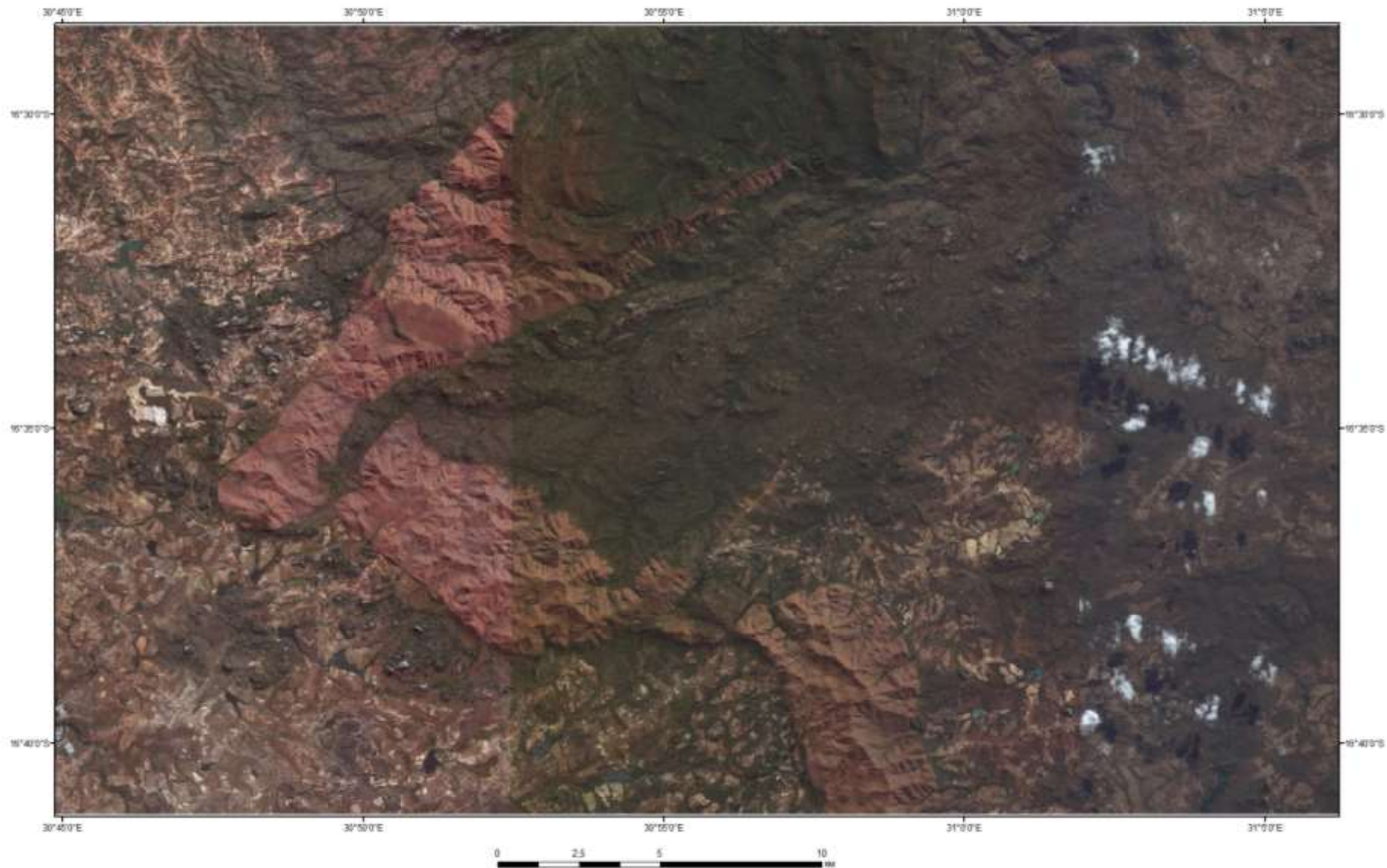
Великая дайка. Африка.



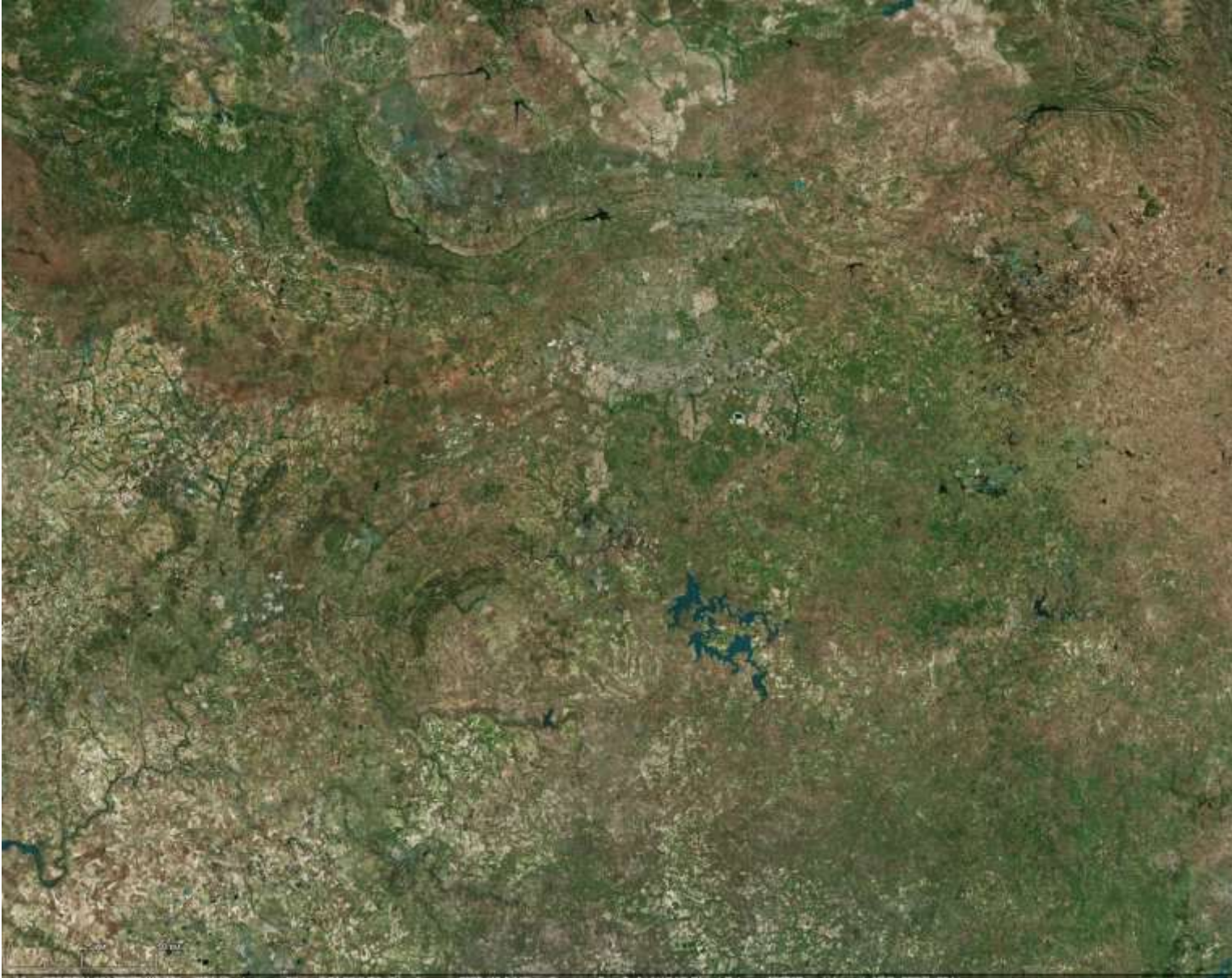
Великая дайка. Африка.



Великая дайка. Смещения по поздним разломам. Африка.



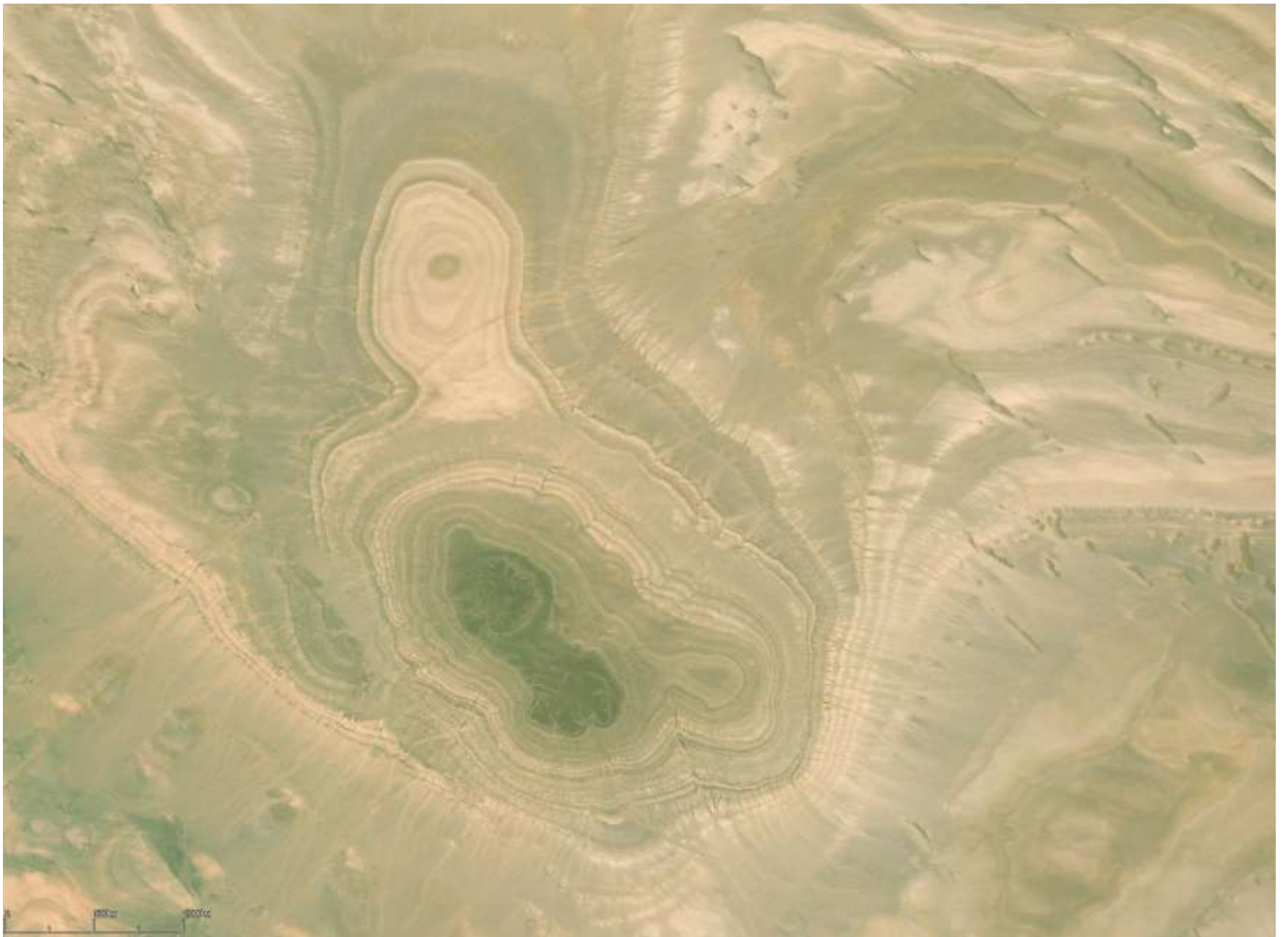
Великая дайка раздроблена и смещена поперечной субширотной тектонической зоной



Концентрическая очаговая структура (внешний диаметр 100 км) в центральной части рудного поля Витватерсранд. Южная Африка.



Трубка Кондер (трубообразное тело ультрабазитов). Платиновая россыпь. Локализовано среди горизонтально залегающих карбонатных пород.



Горизонтальное залегание пород. Карбонатные толщи. Египет



Горизонтально залегающие известняки. Район развития алмазоносных кимберлитовых трубок. Якутия.



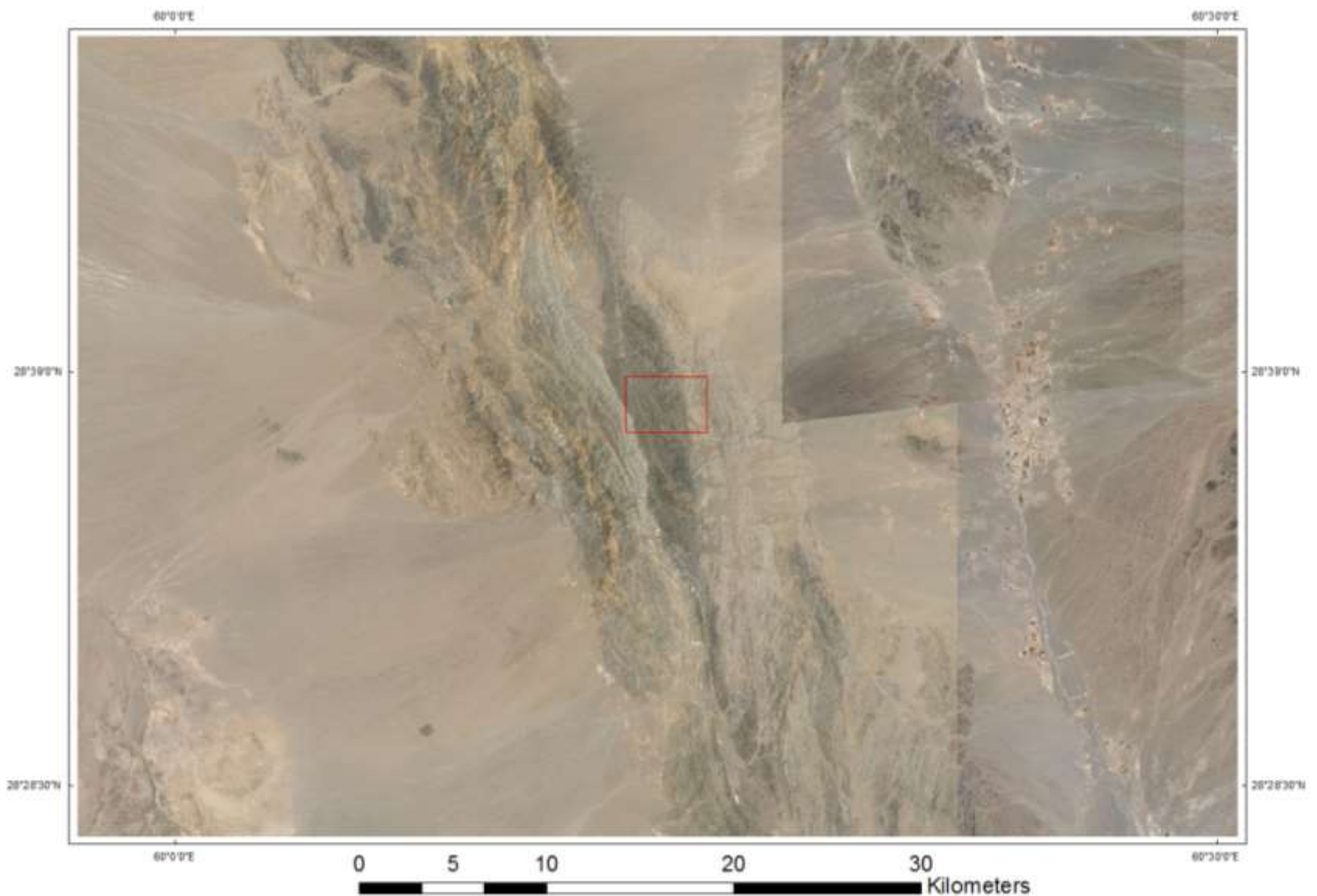
«Растекание» орогенов. Иран-Афганистан.



«Растекание» орогенов 2. Афганистан.



«Растекание» орогенов 3. Афганистан.

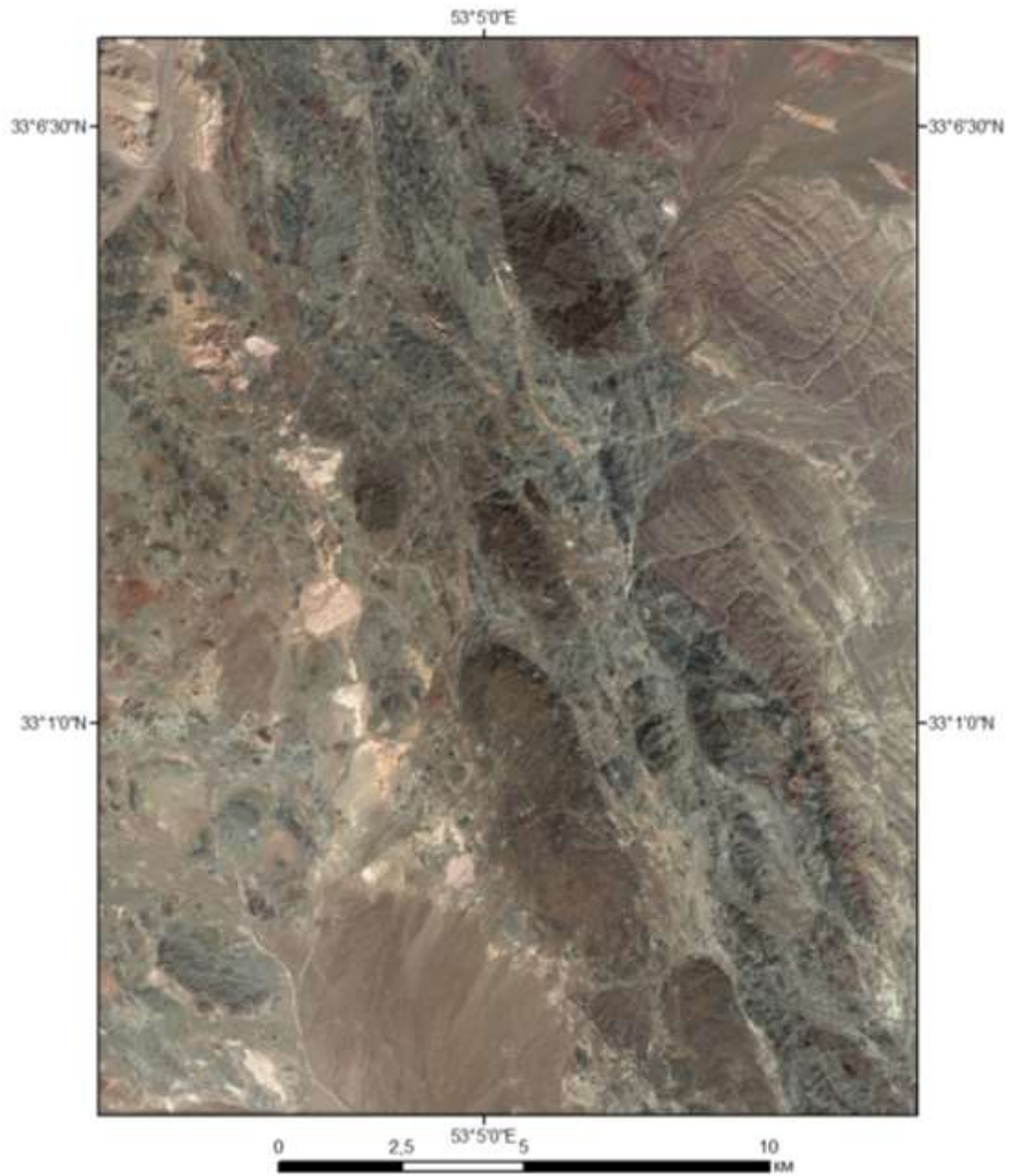


Тектонический поток, сложенный тектоническими линзами, часть из которых представляет собой "гипербазитовую брекчию". Фрагмент, выделенный красным показан на следующем рис. Иран.

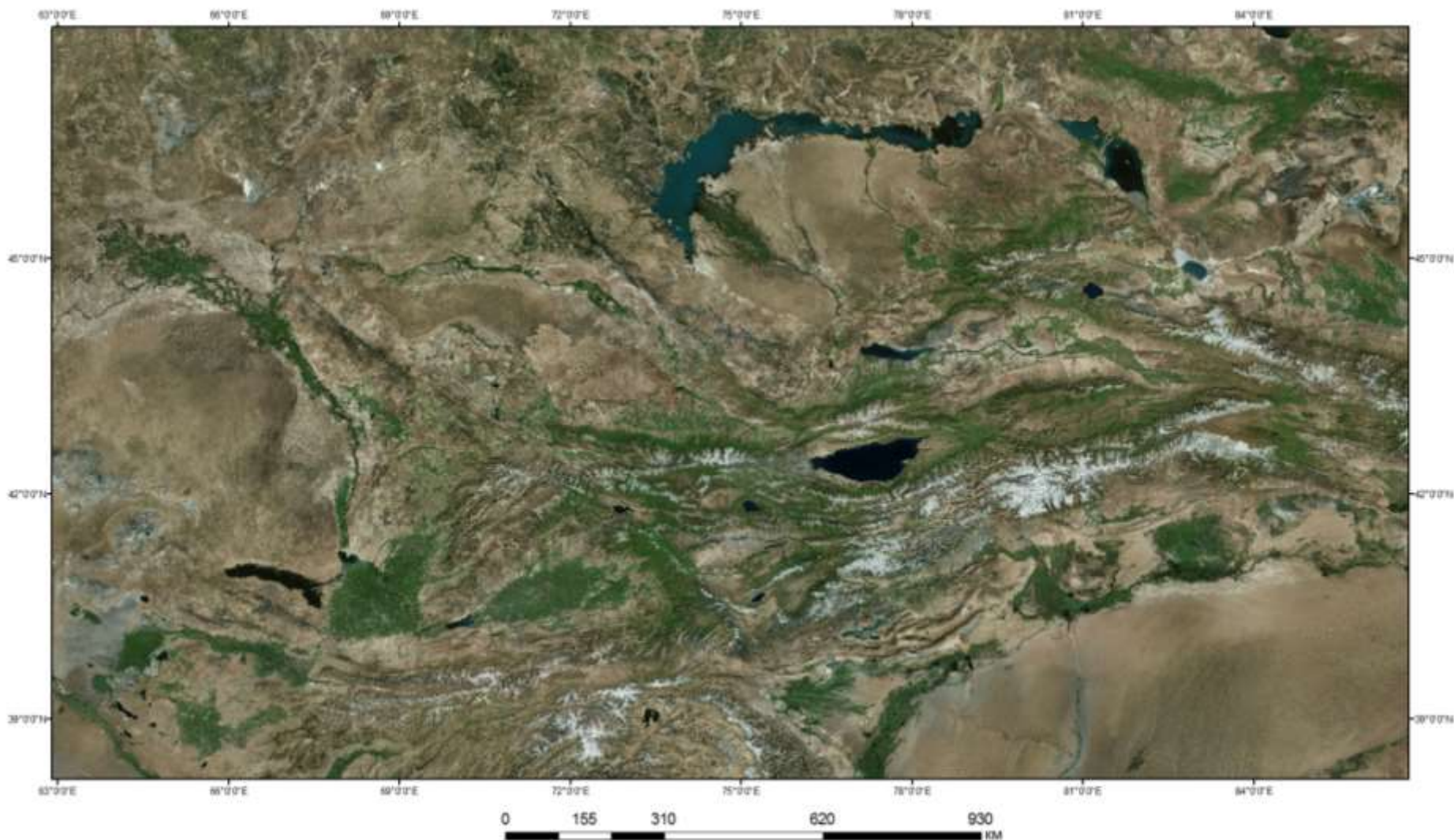


0 0,25 0,5 1 Kilometers

Гипербазитовая тектоническая брекчия. Иран



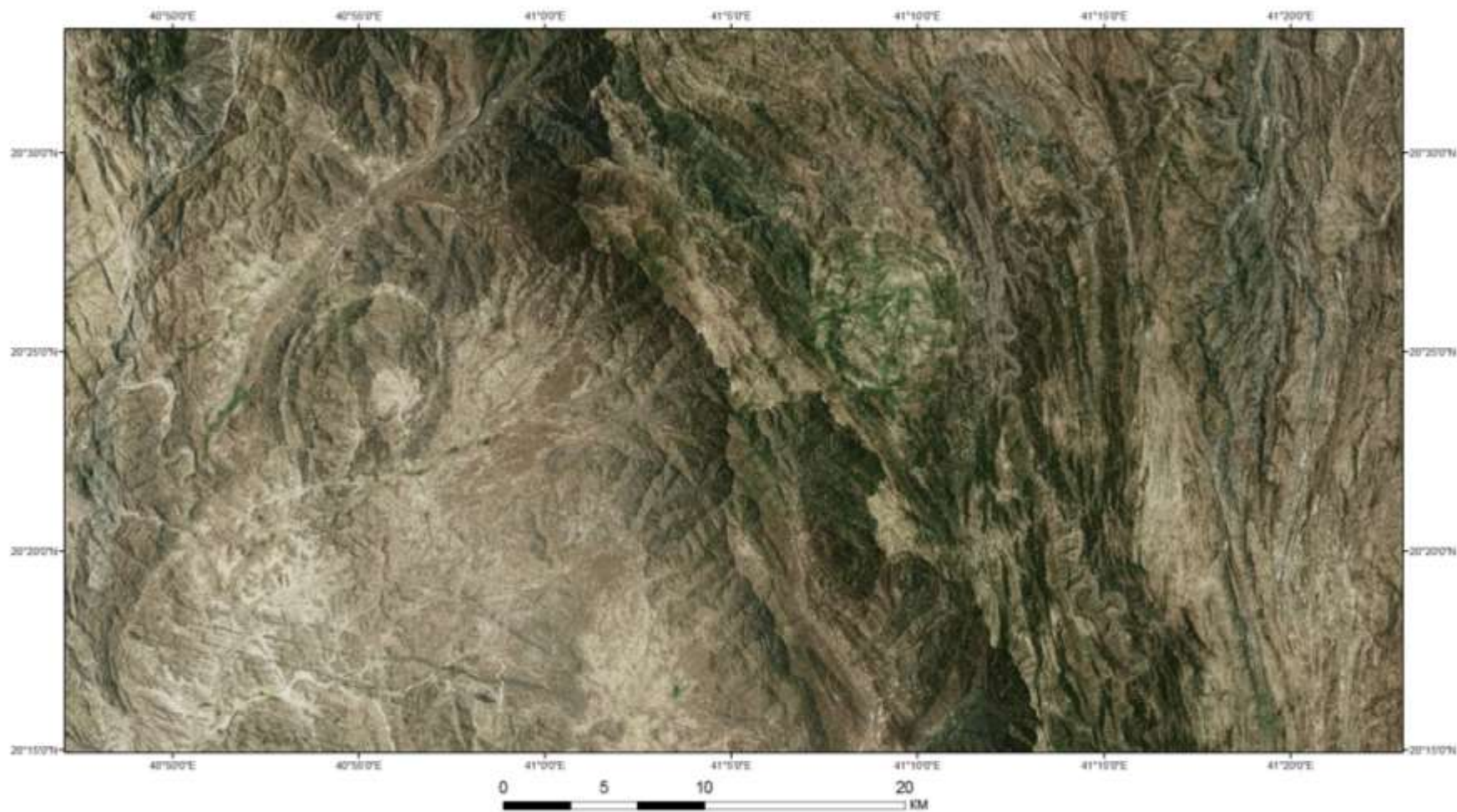
Гипербазитовая тектоническая брекчия. Иран



Тектонический поток субширотного направления, состоящий из тектонических линз разных рангов.
В центре снимка оз. Иссык-Куль



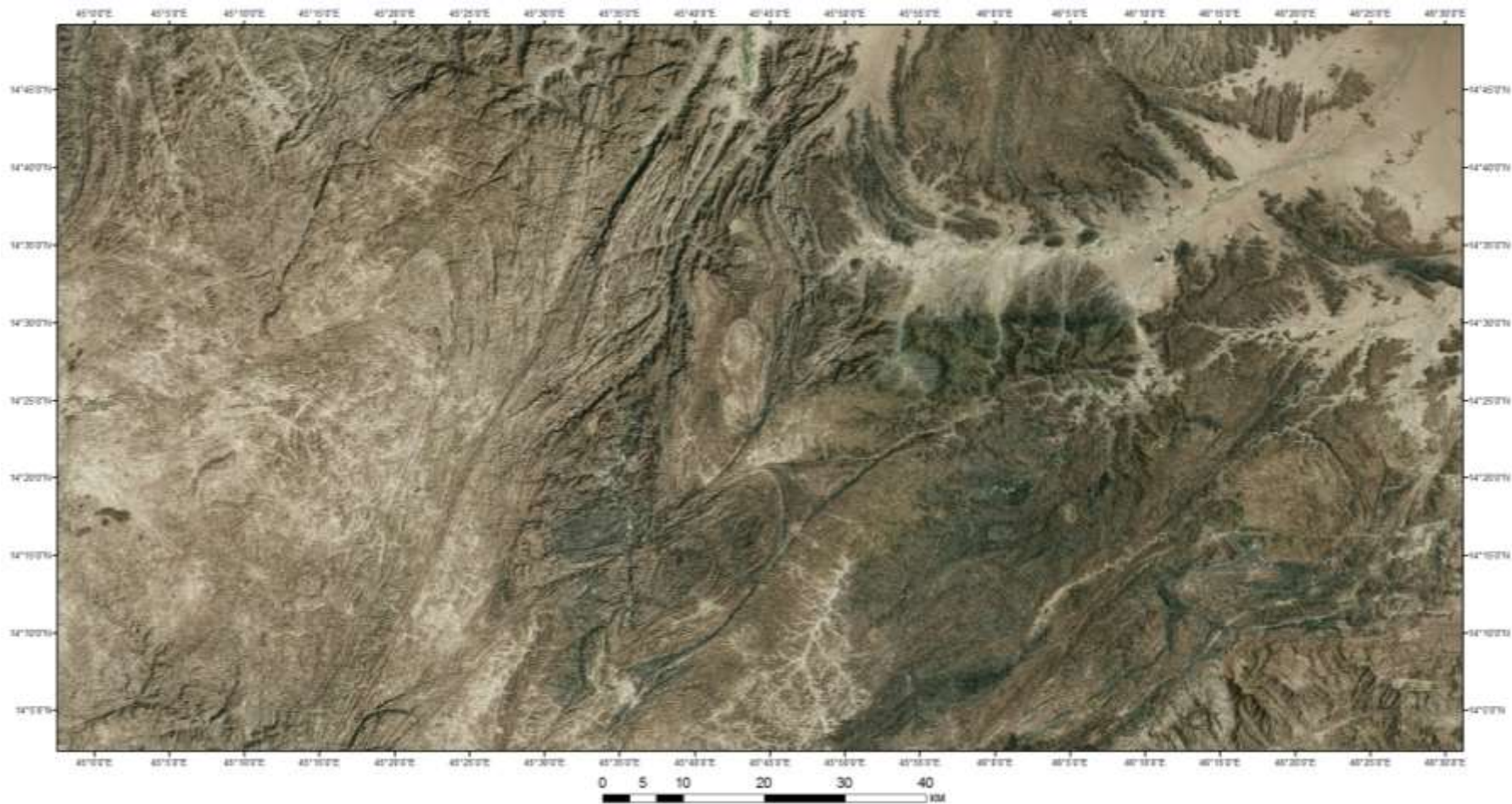
Тектонический поток субширотного направления, состоящий из тектонических линз разных рангов. В центре снимка оз. Иссык-Куль в тектонической линзе (ок. 275 км), южнее – линза Такла-Макан (ок. 1100 км). Размеры линз указаны по длинной оси.



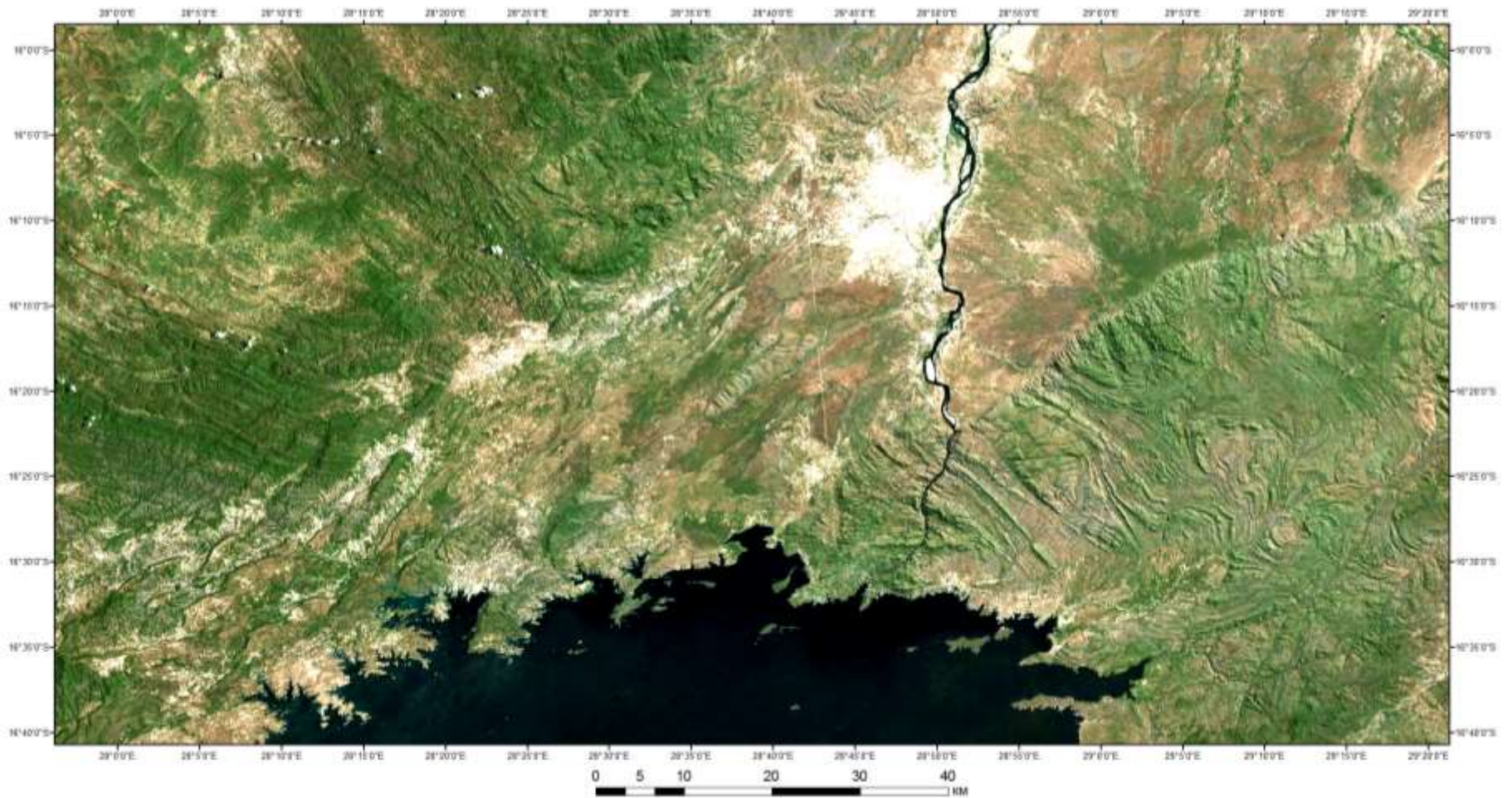
Катазональный тектонический поток. Гнейсы, гранито-гнейсы. Линзовидно-блоковое строение. Саудовская Аравия.



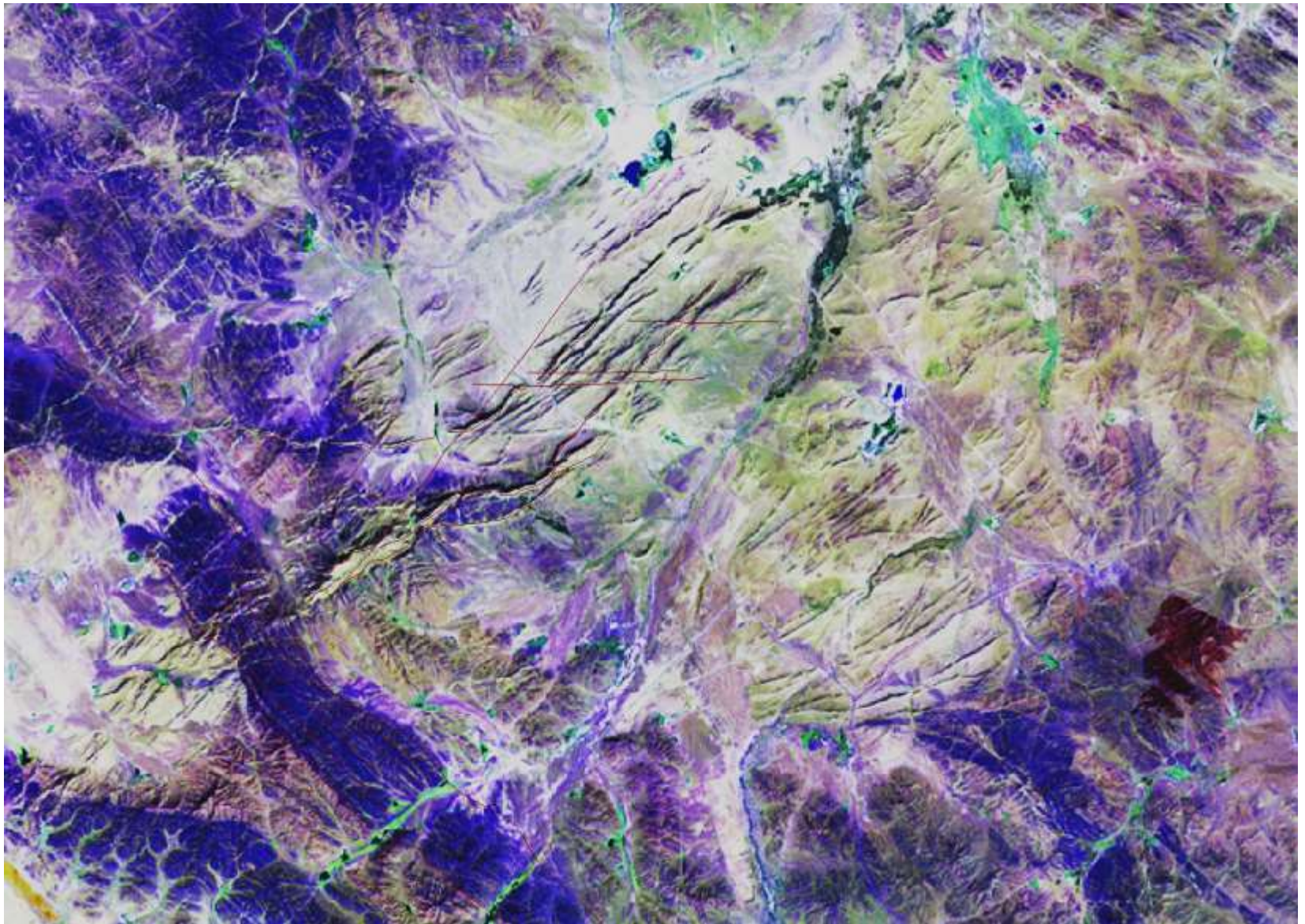
Катазональный тектонический поток. Гнейсы, гранито-гнейсы. Линзовидно-блоковое строение. Саудовская Аравия.



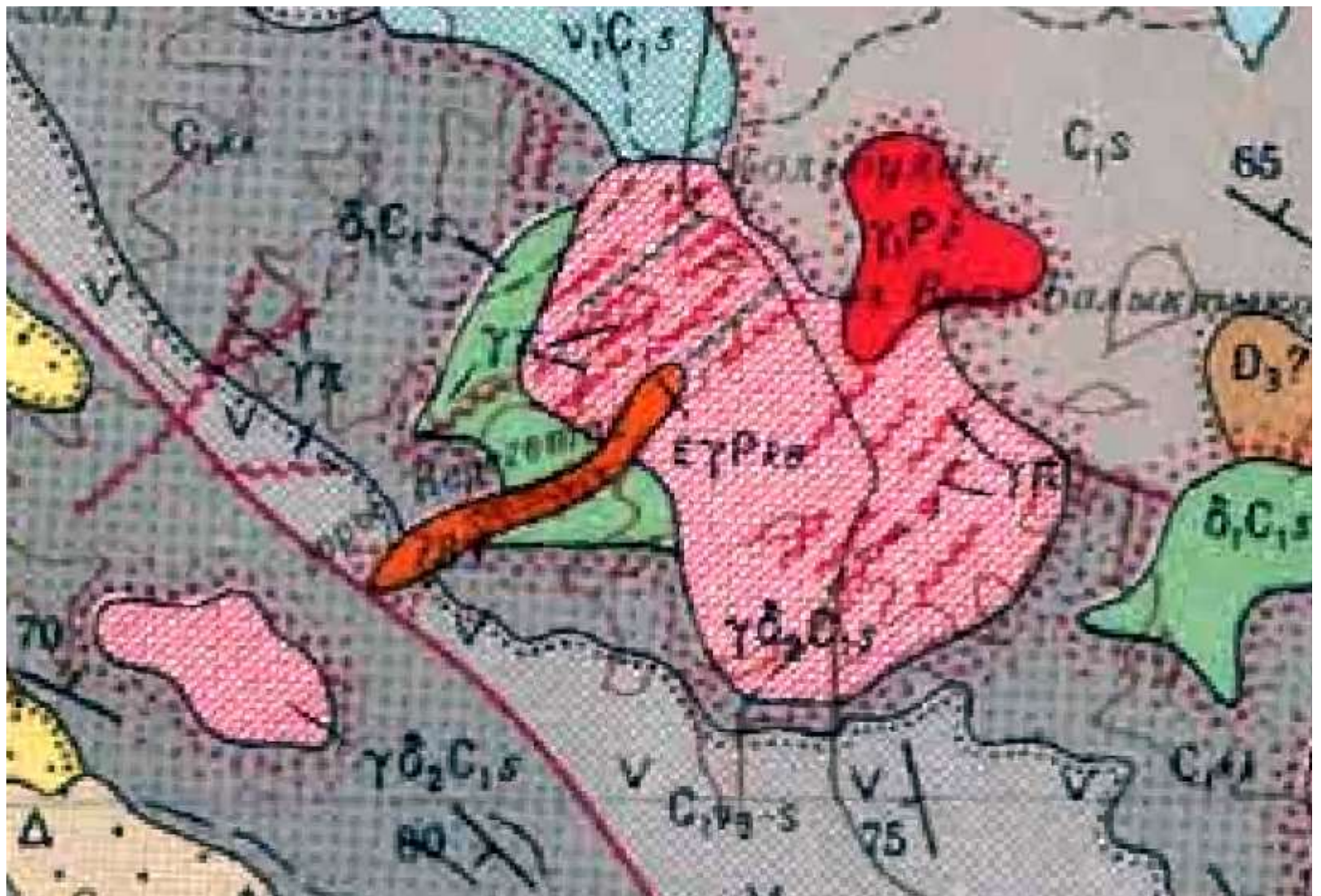
Катазональный тектонический поток. Гнейсы, гранито-гнейсы. Линзовидно-блоковое строение. Саудовская Аравия.



Пересечение двух тектонических потоков (северо-западного и северо-восточного простирания).
Африка



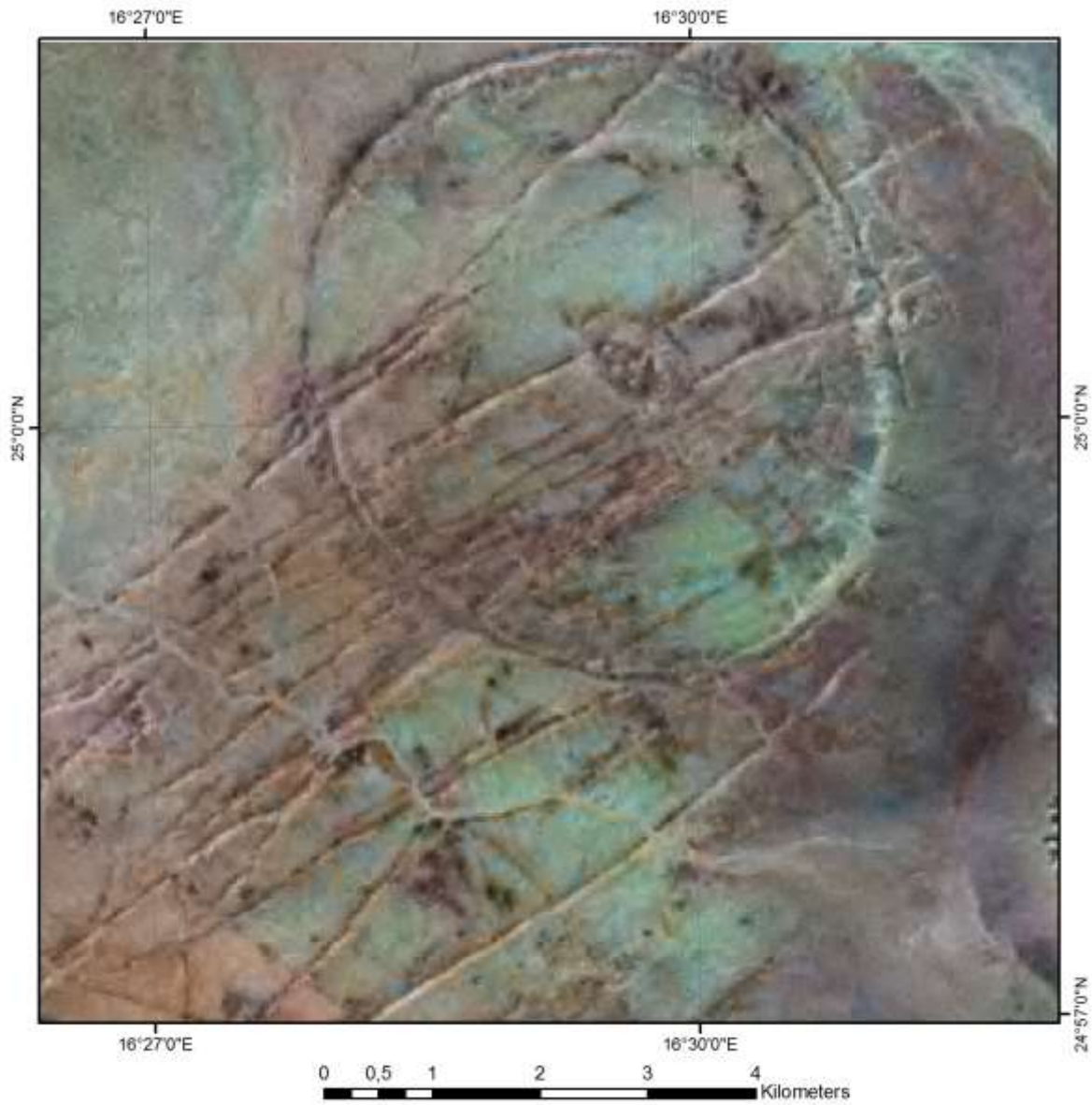
Дайки в пределах тела гранитоидов. Казахстан



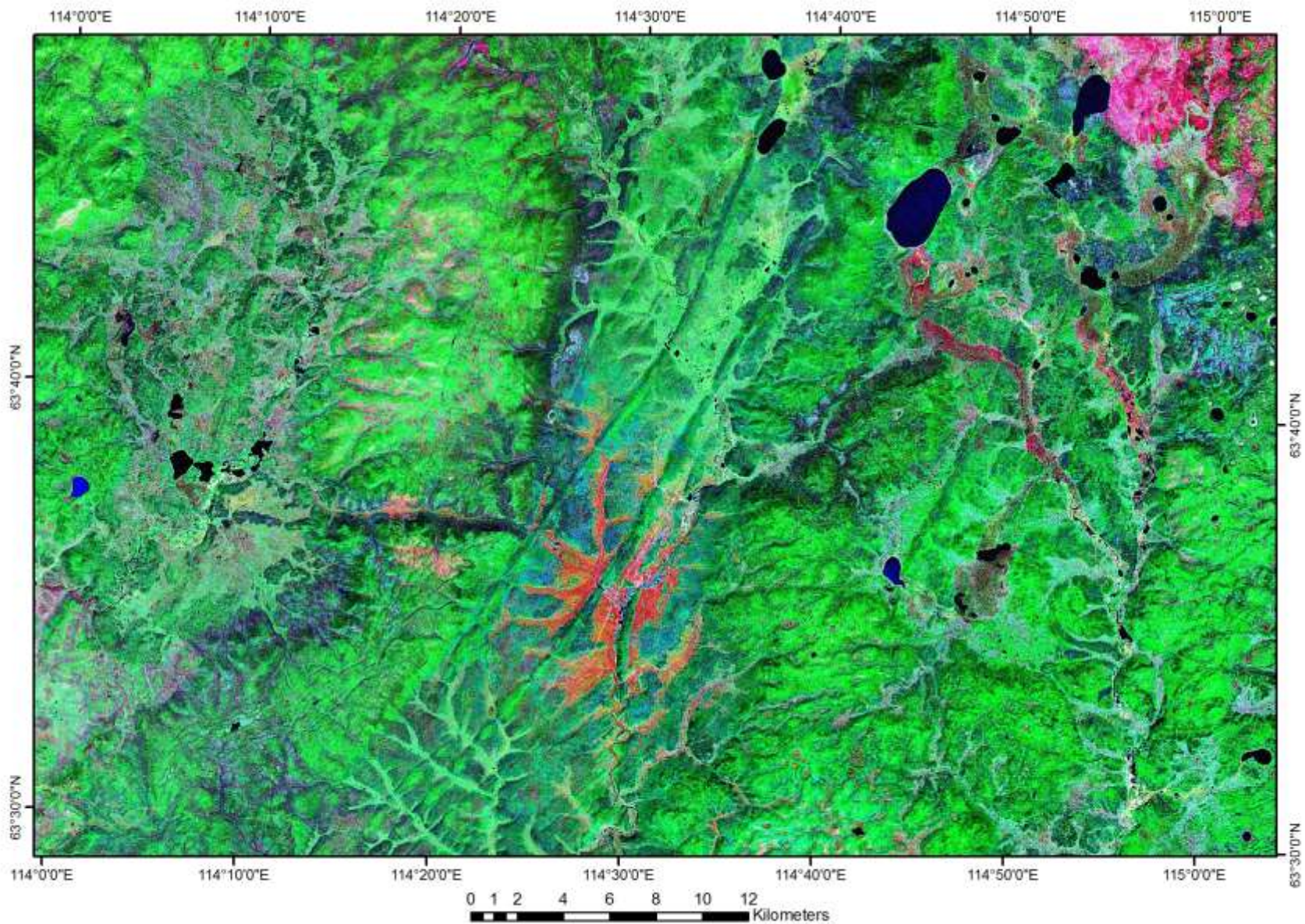
Дайки в пределах тела гранитоидов на геологической карте



Дайки в пределах тела гранитоидов



Линейные и кольцевые дайки. Африка.



Дайки (протяженность ок. 40 км). Сибирская платформа. Якутия.



АВСТРАЛИЯ. ЗОНА РАСТЯЖЕНИЯ И СКЛАДЧАТОСТЬ



АВСТРАЛИЯ. ЗОНА РАСТЯЖЕНИЯ И СКЛАДЧАТОСТЬ

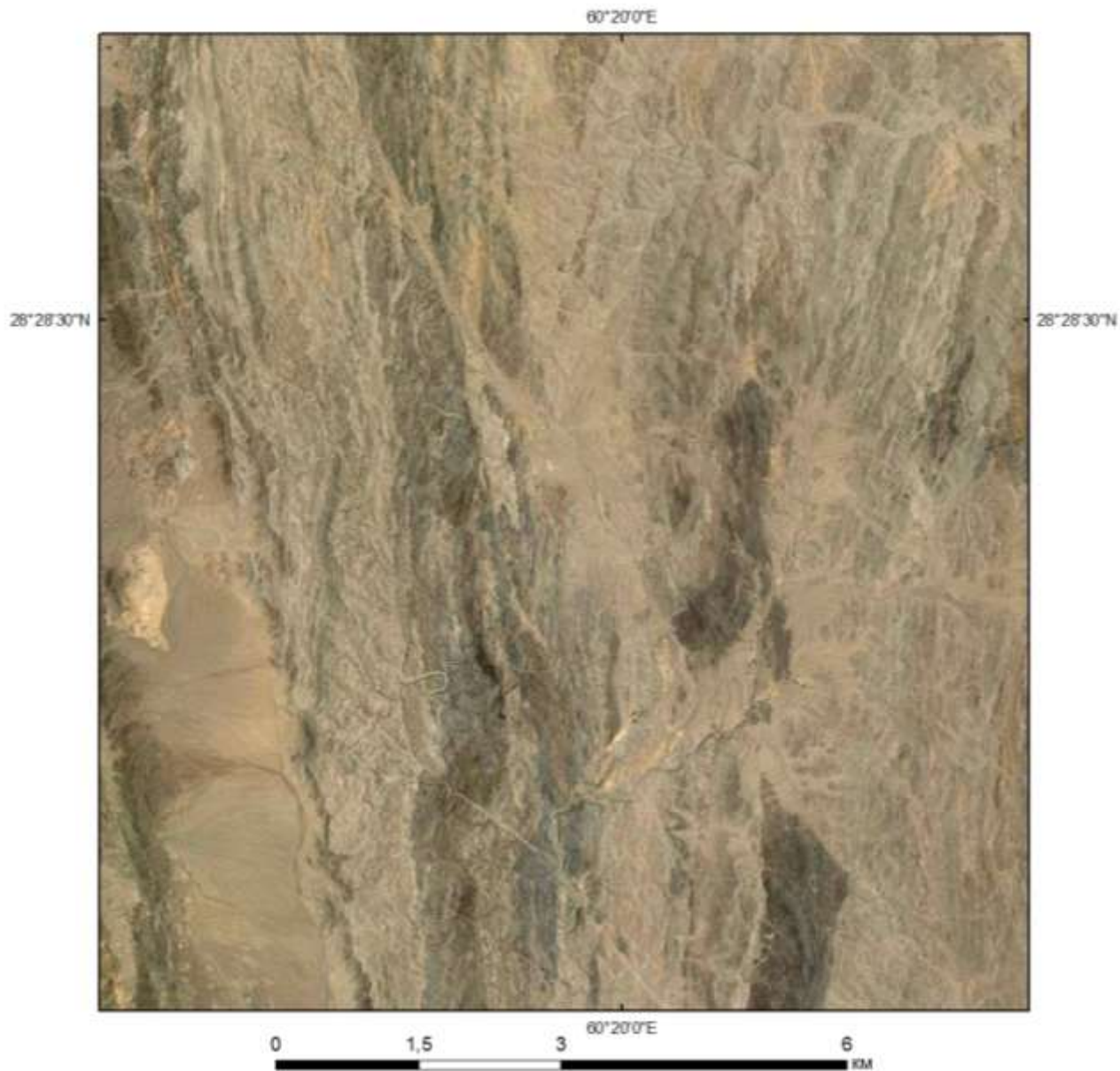


АВСТРАЛИЯ. ЗОНА РАСТЯЖЕНИЯ И СКЛАДЧАТОСТЬ

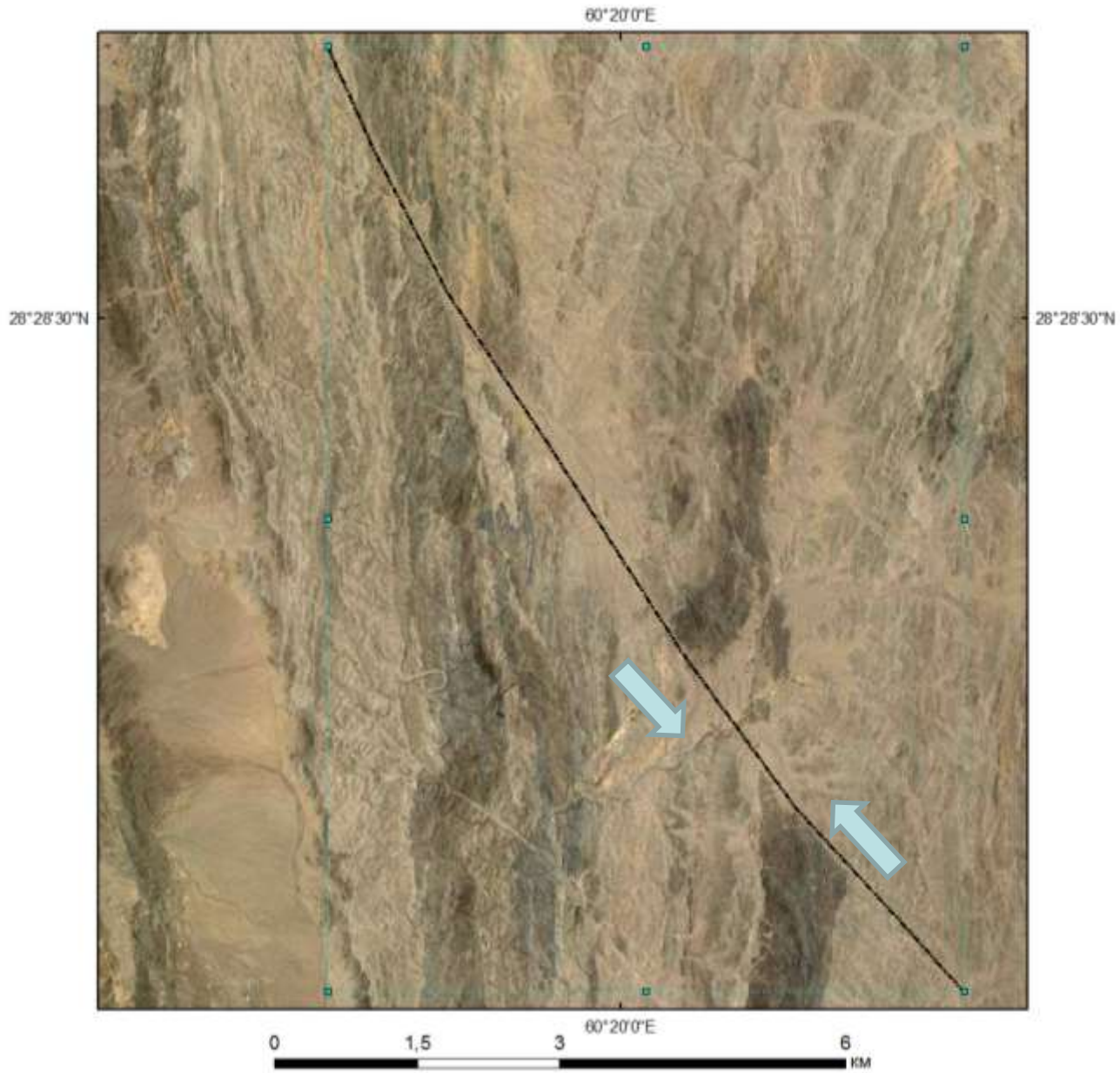


Photo by Igor Panyuta

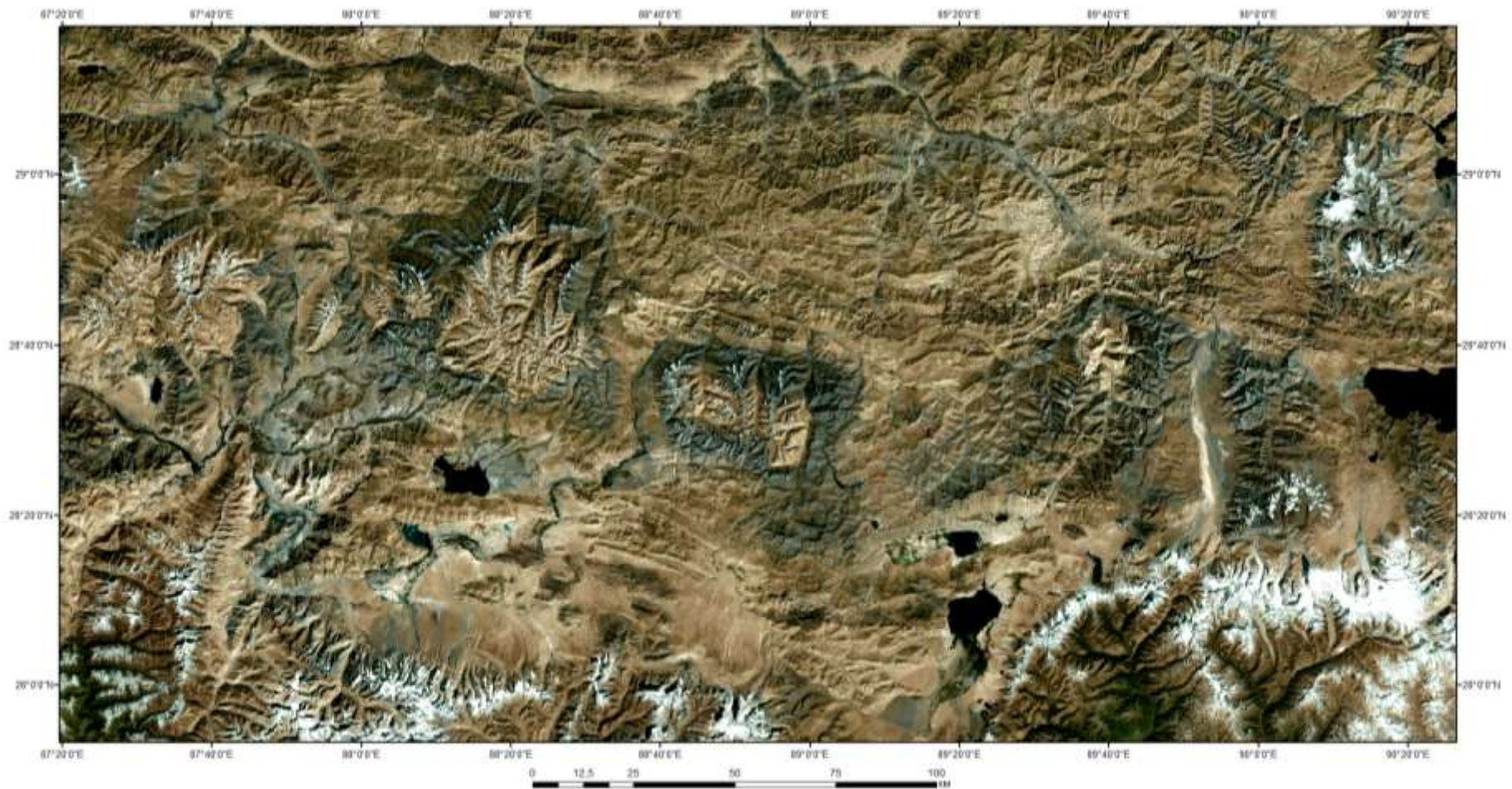
Складки обсидиана в блоке туфа. Тектоническое течение в условиях растяжения.



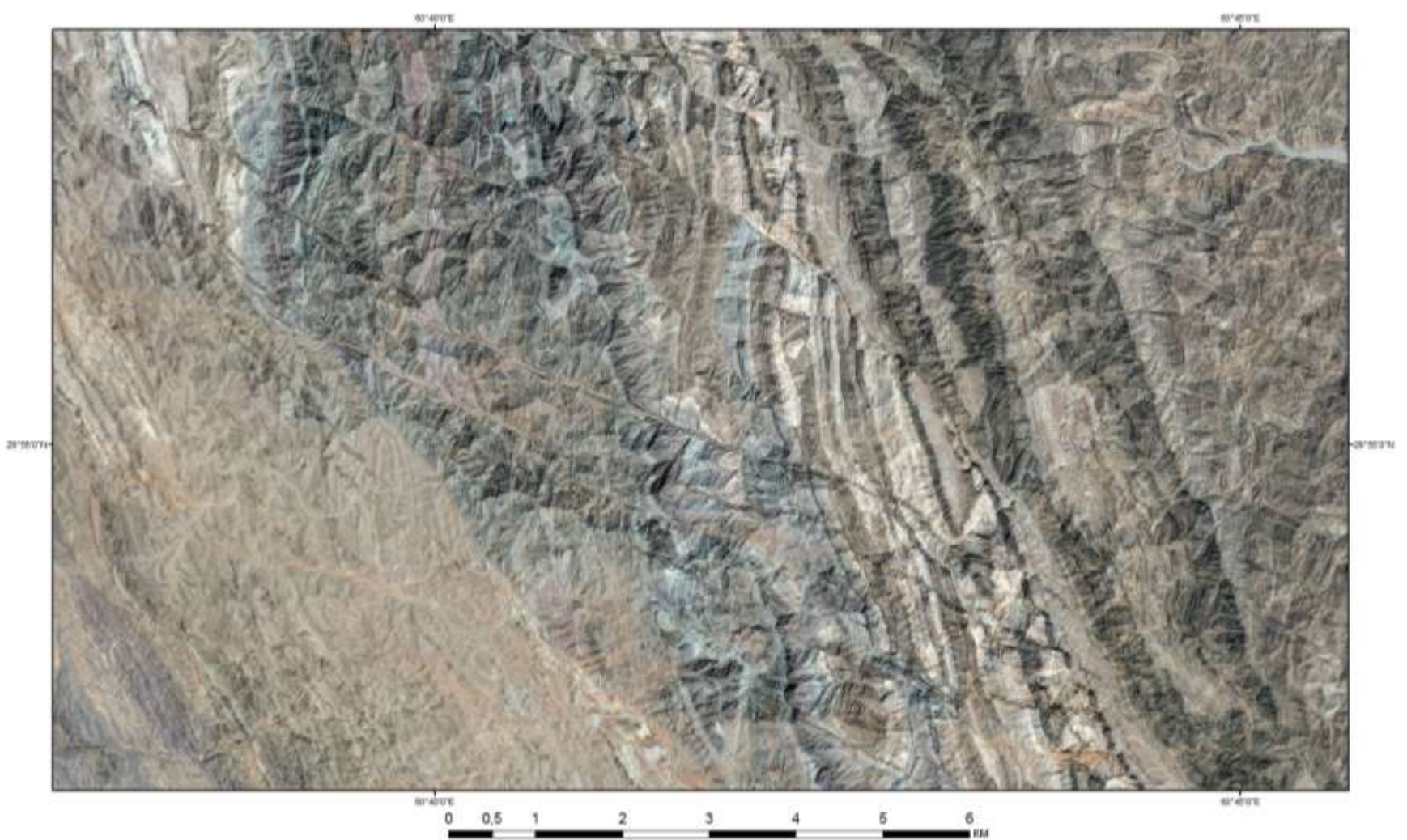
Разлом, характеризующийся правосдвиговой кинематикой с горизонтальной амплитудой ок. 2.5 км. Иран.



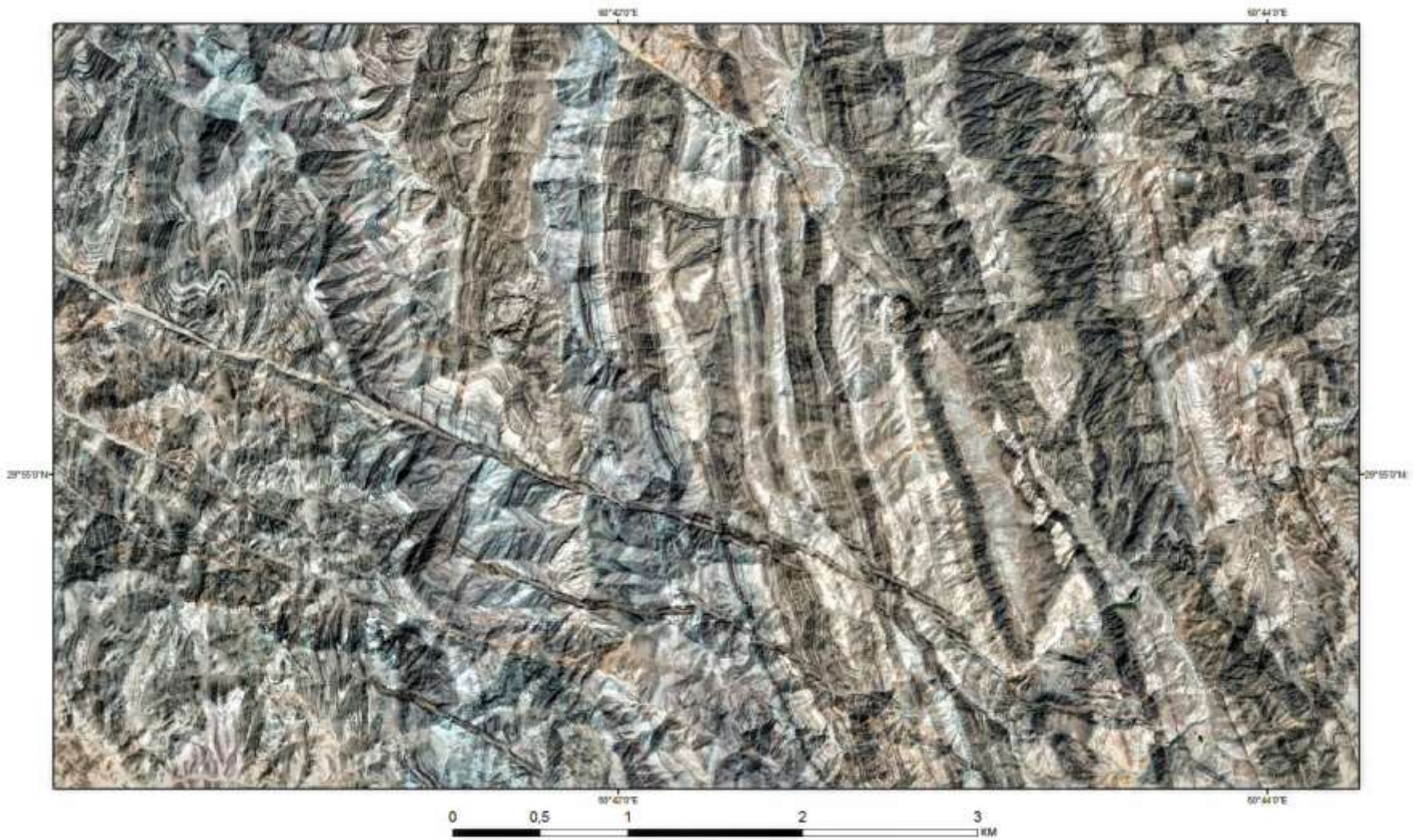
Разлом, характеризующийся левосдвиговой кинематикой с горизонтальной амплитудой ок. 2.5 км. Иран.



Граниты с ореолом контактовых роговиков. Китай.



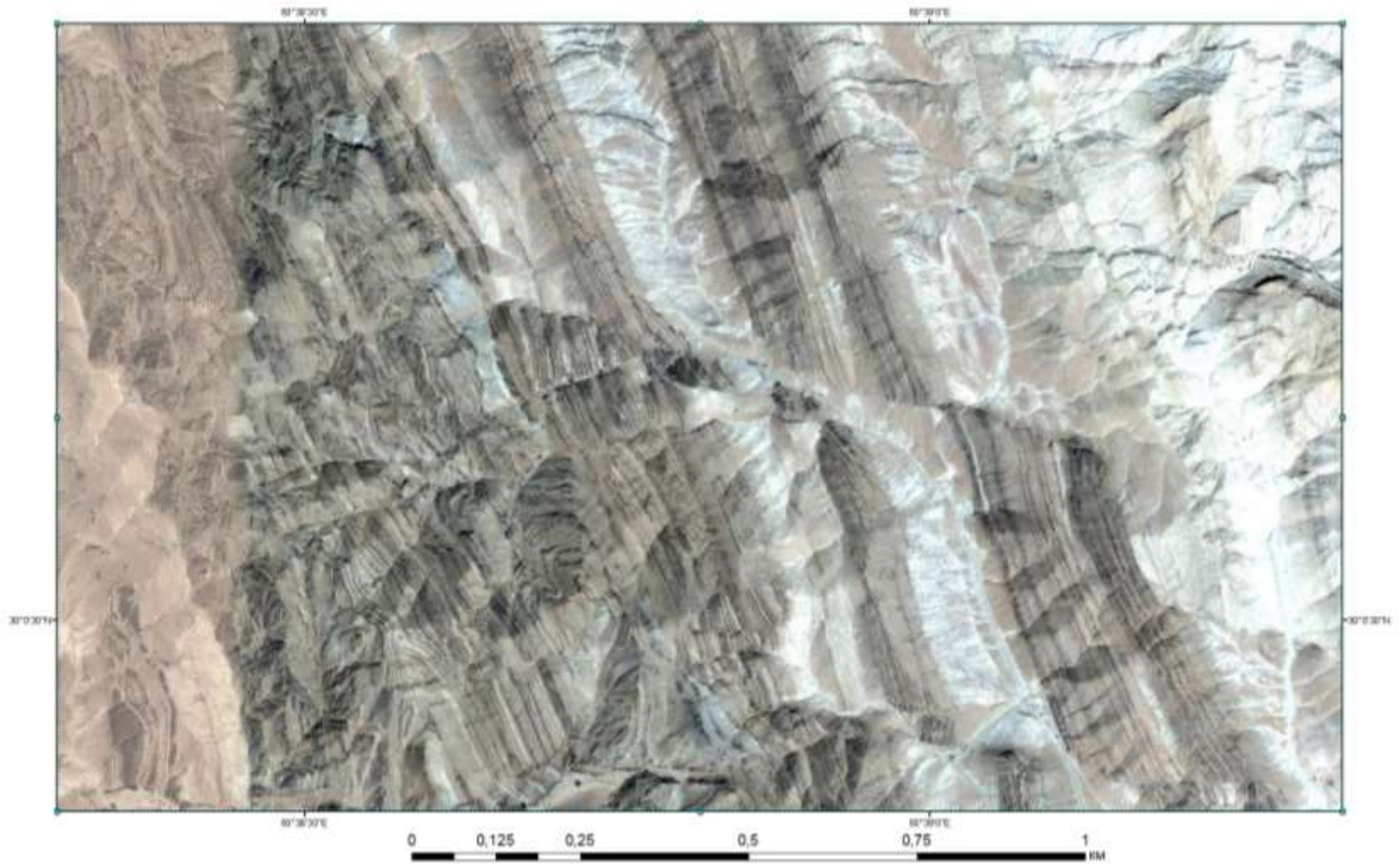
Серия молодых разломов северо-западного простирания пересекает более древний тектонический поток. Иран



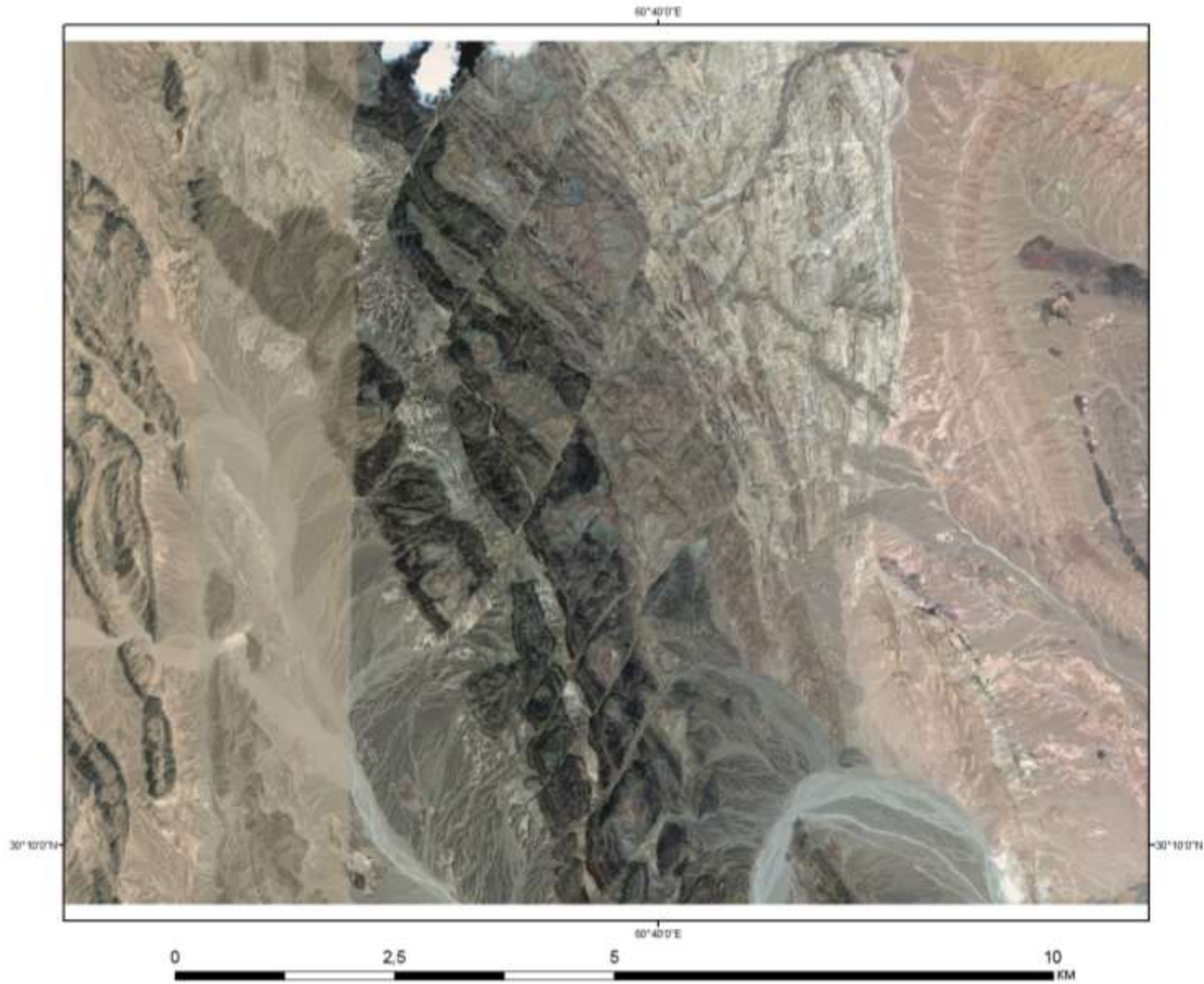
Серия молодых разломов северо-западного простирания пересекает более древний тектонический поток.



Серия молодых разломов северо-западного простирания пересекает более древний тектонический поток.



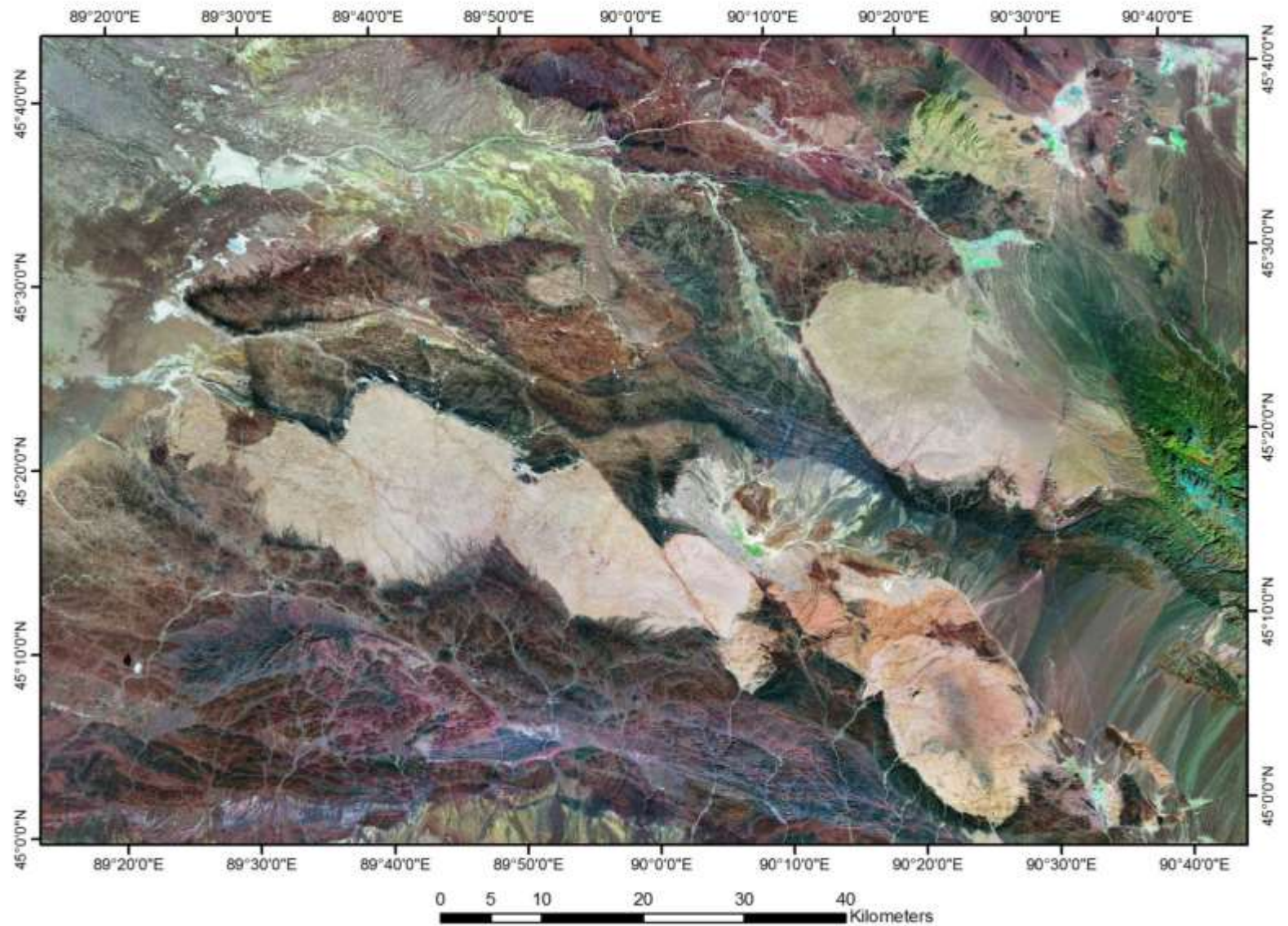
Серия молодых разломов северо-западного простирания пересекает более древний тектонический поток.



Серия молодых разломов сбросо-сдвиговой кинематики. Иран



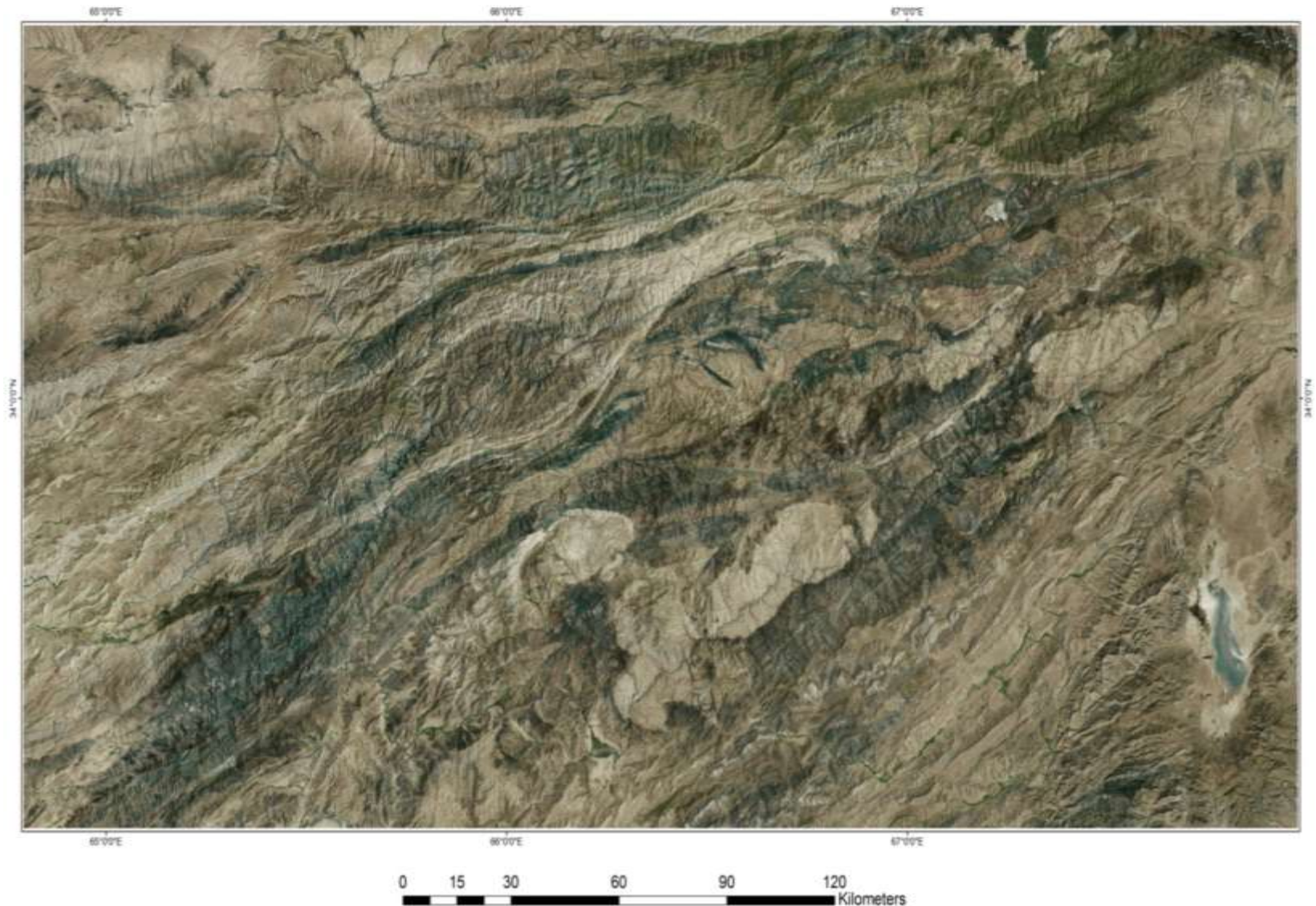
Взаимодействие пластичных пород и жестких блоков в тектоническом потоке.
Иран.



Мегабрекчия гранитов. Светлые блоки - "обломки" гранитов (размеры от 5 до 30 км). Зап. Монголия.



- . Мегабрекчия гранитов. Светлые блоки в центральной части снимка - "обломки" гранитов (размеры от 10 до 24 км). Зап. Монголия.



. Тектонический поток северо-восточной ориентировки, представленный тектоническими линзами нескольких рангов. Светлые пятна в центре и северо-восточной части территории - "обломки" гранитов (размеры от 15 до 40 км). Афганистан.



Южная Африка. Капские горы. Два структурных этажа.



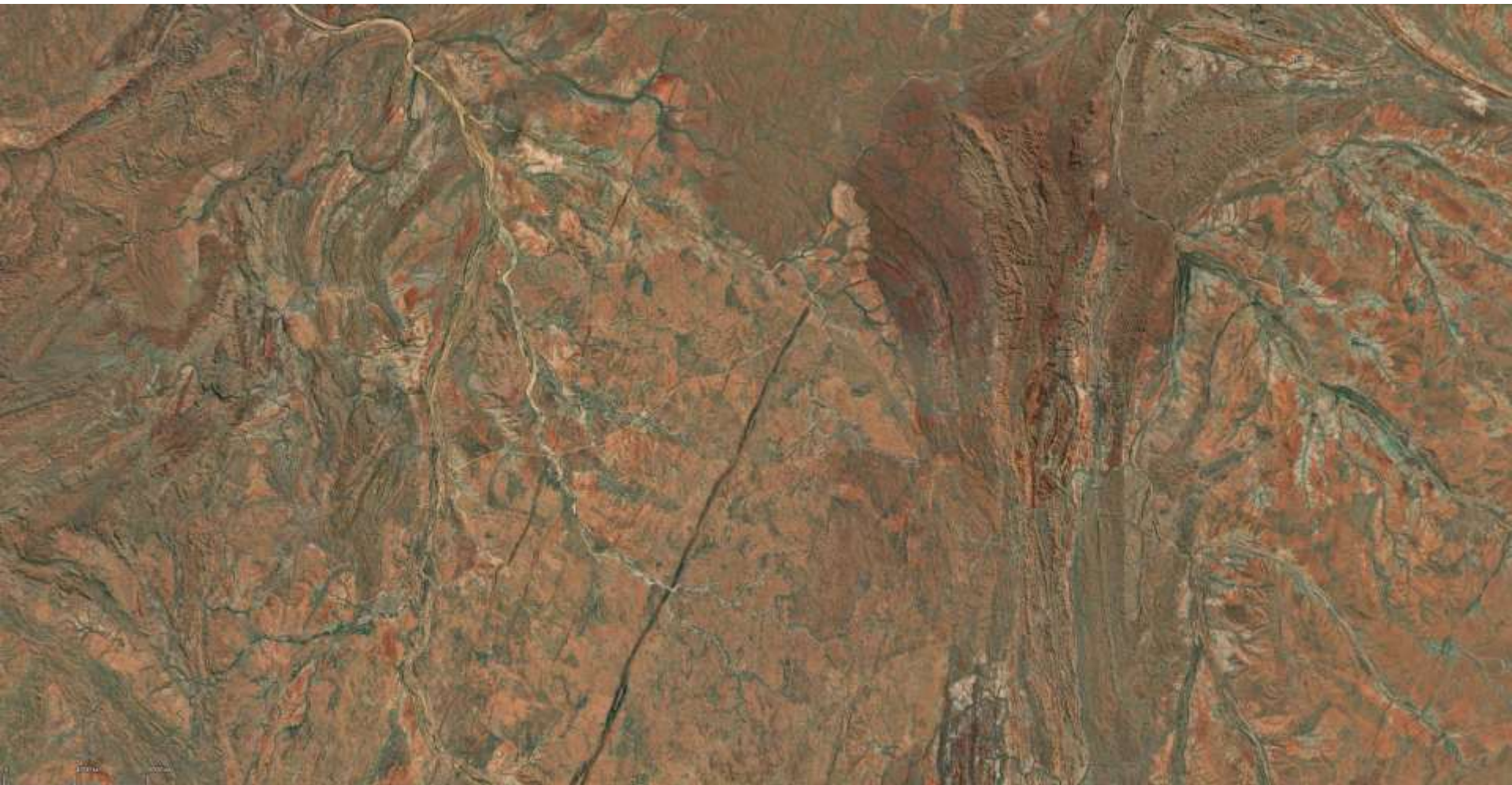
Гигантская тектоническая брекчия в области растяжения. Западная Австралия. Размеры блоков 50-70 км.



Дайка в одном из блоков мегабрекчии.



Фрагменты одной и той же дайки в разных блоках мегабрекчии, разделенных поздней складчатой зоной. Разрыв между блоками ок. 65 км.



Границы блоков мегабрекчии и разделяющая их складчатая зона (тектонический поток)



Горы Пурнулулу. Кратер Пиканини. Зап. Кимберли. Австралия.
Кольцевая структура «кратера» диаметром ок. 5 км располагается среди горизонтально залегающих известковистых песчаников.



Горы Пурнулулу. Кратер Пиканини. Зап. Кимберли. Австралия.